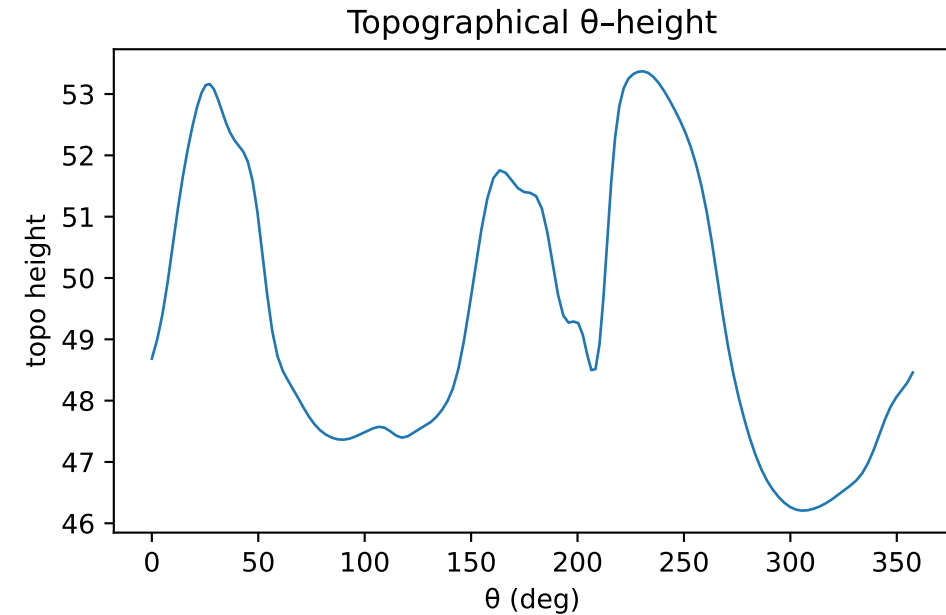
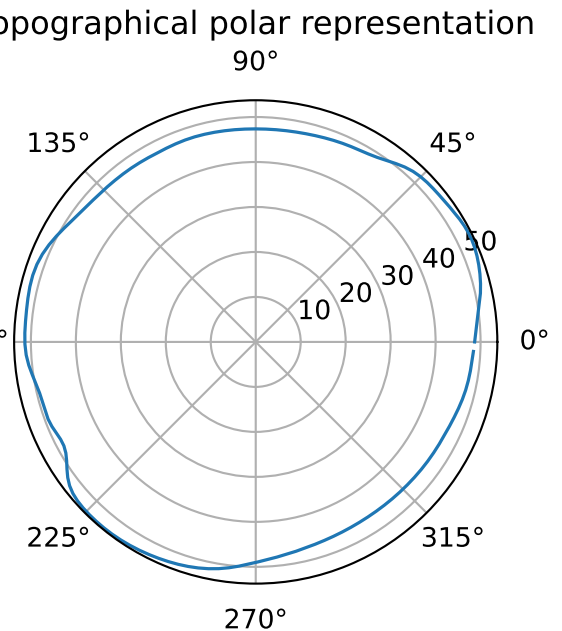
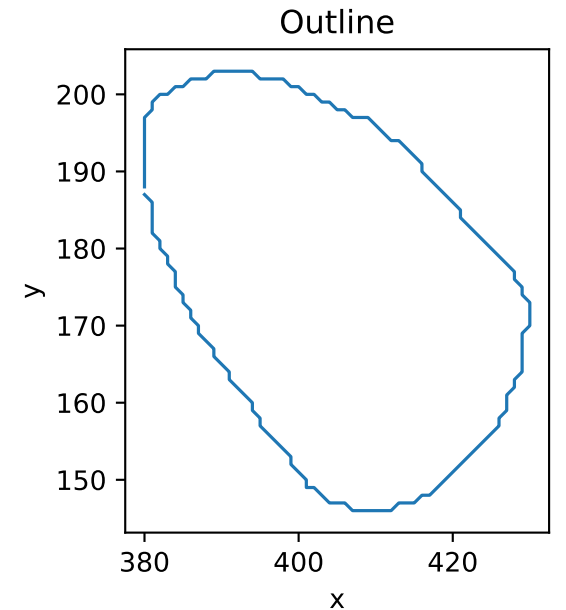
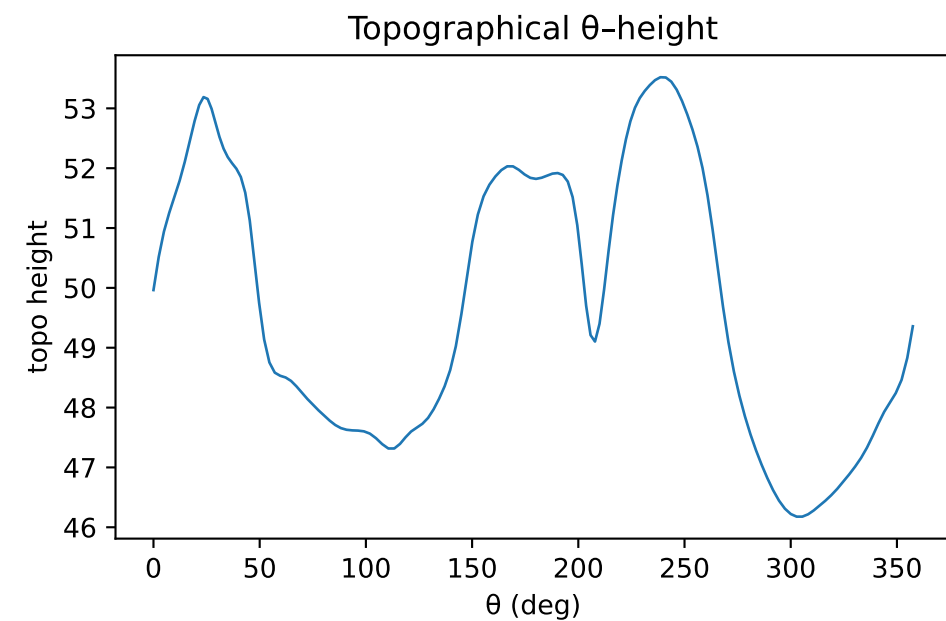
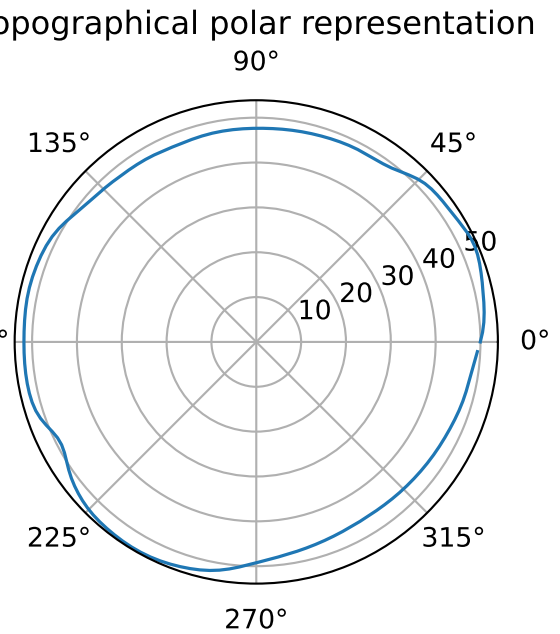
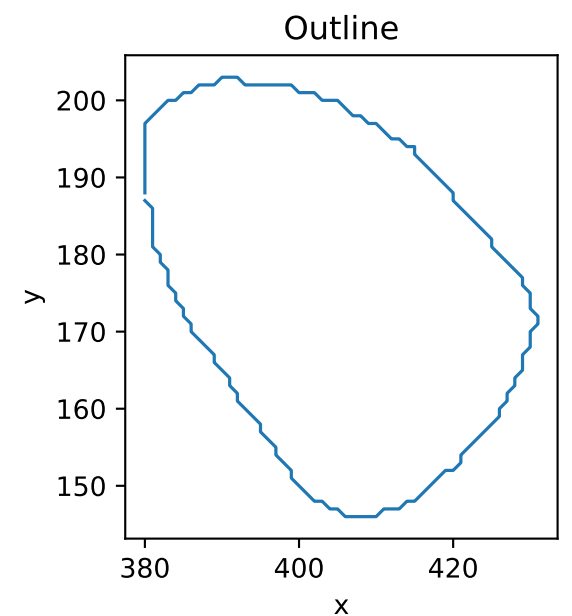


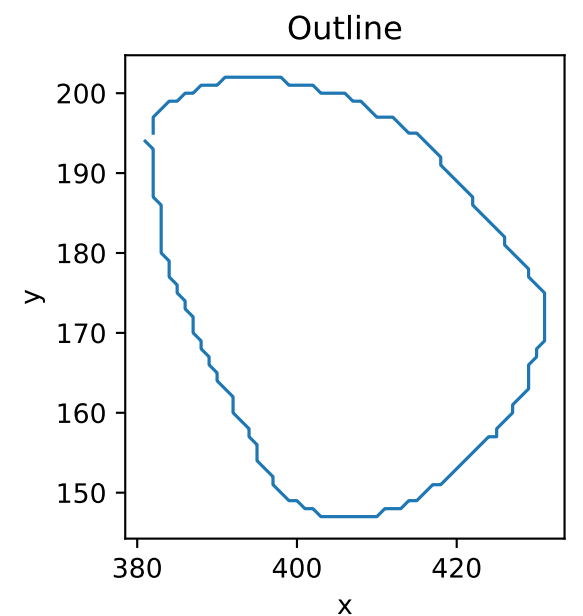
Frame 0 | t=29.000



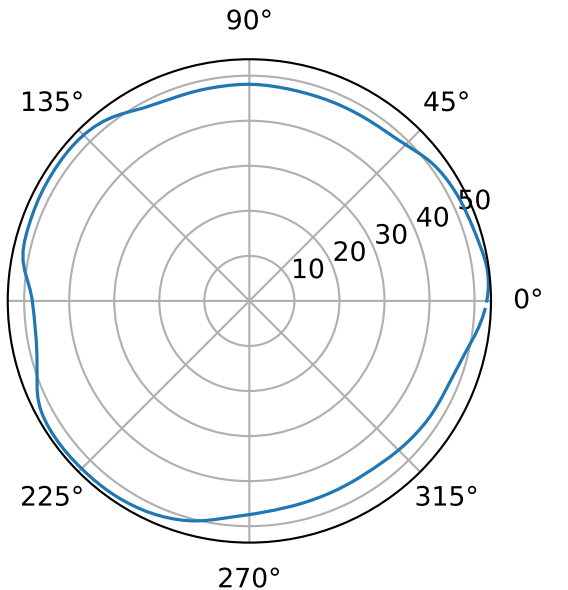
Frame 1 | t=30.000



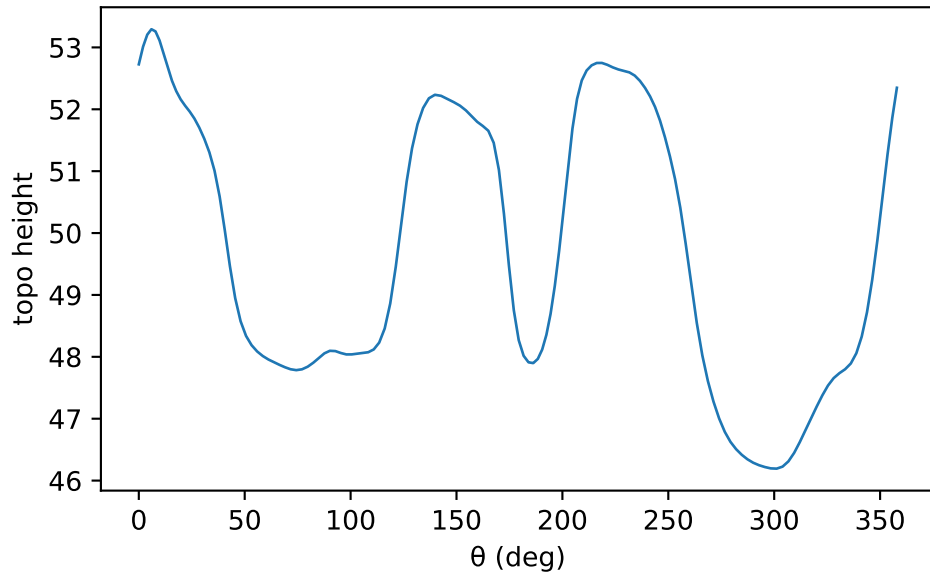
Frame 2 | t=31.000



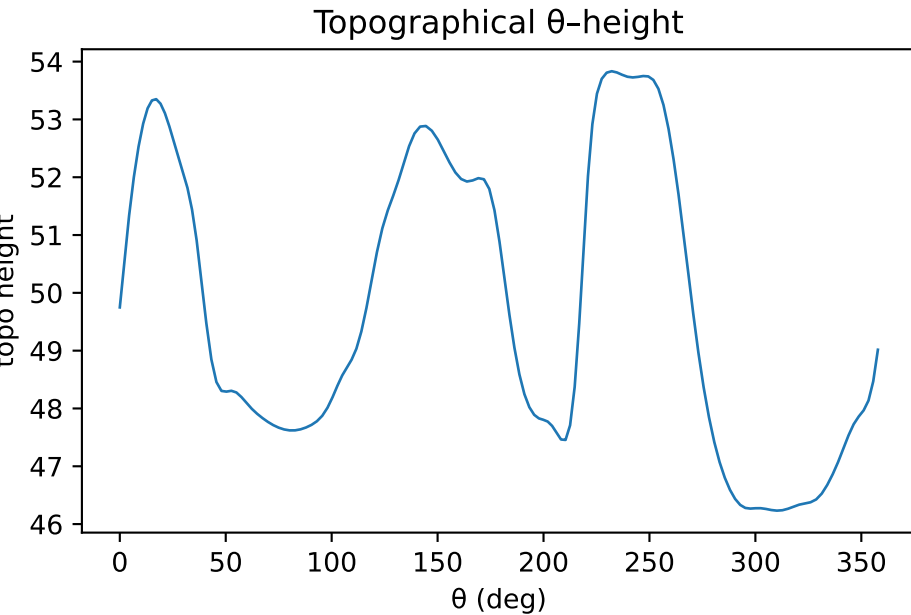
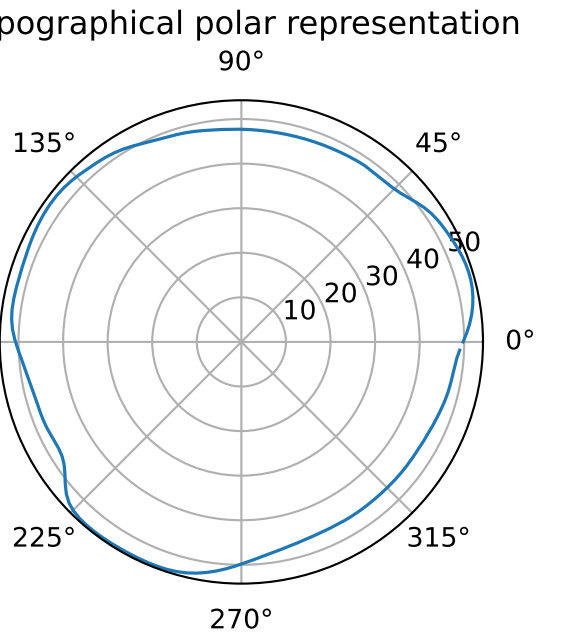
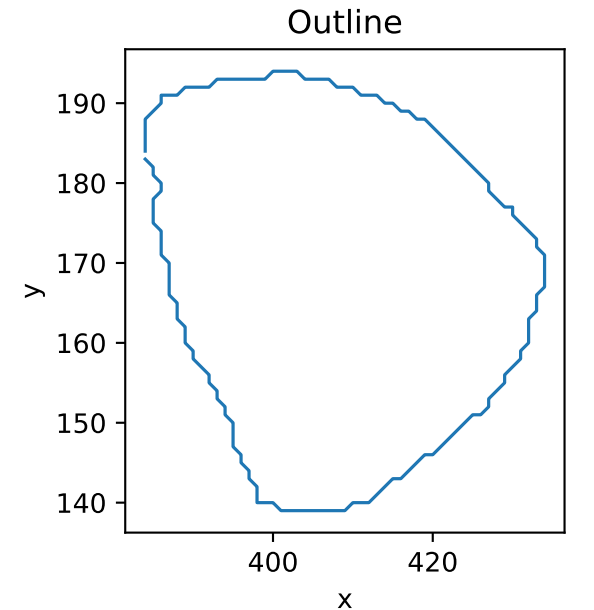
Topographical polar representation



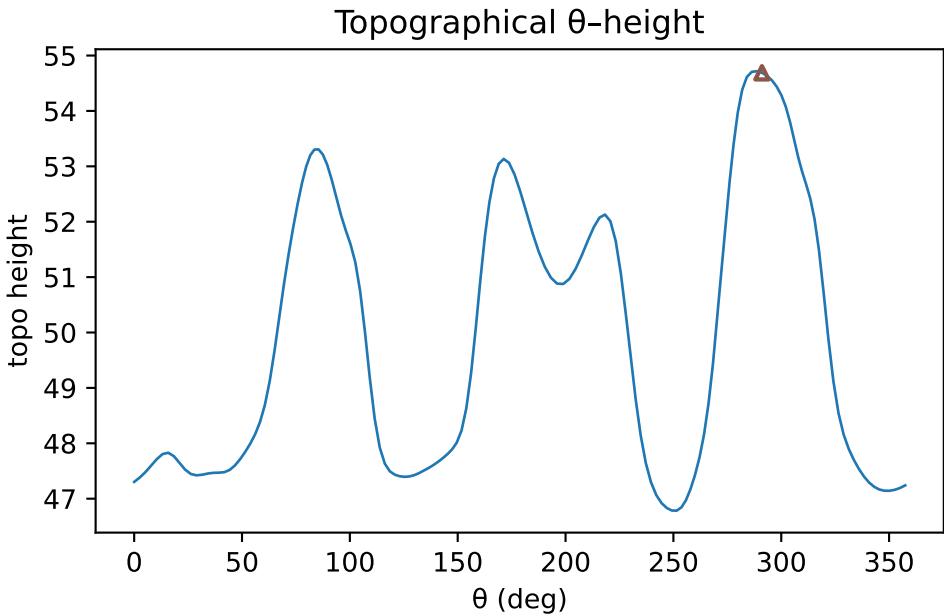
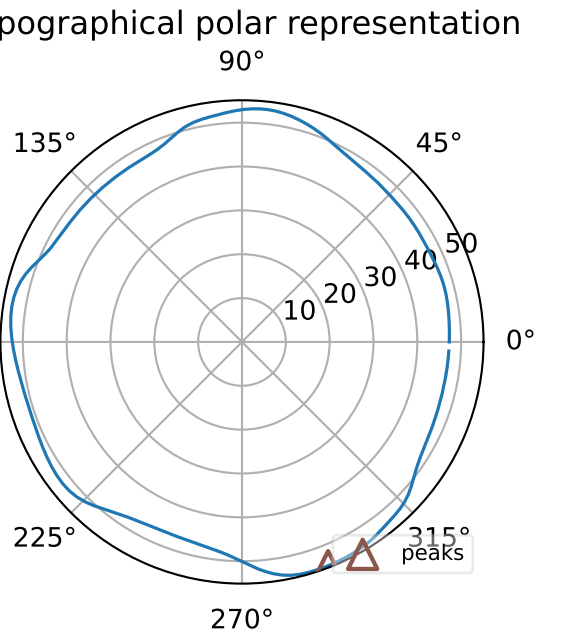
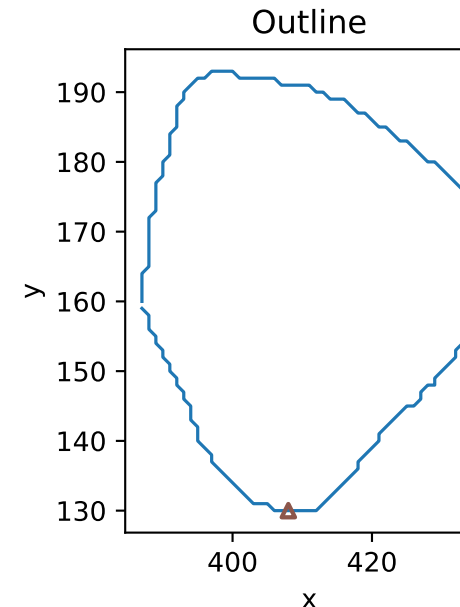
Topographical  $\theta$ -height



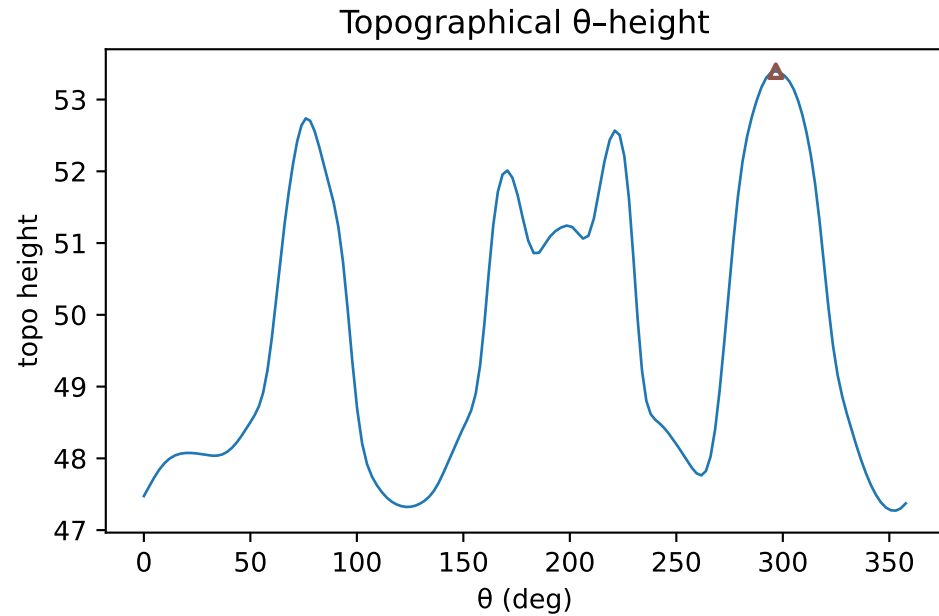
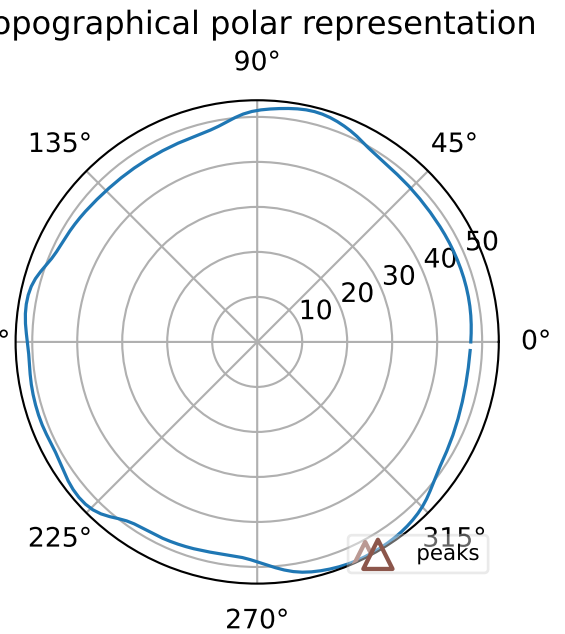
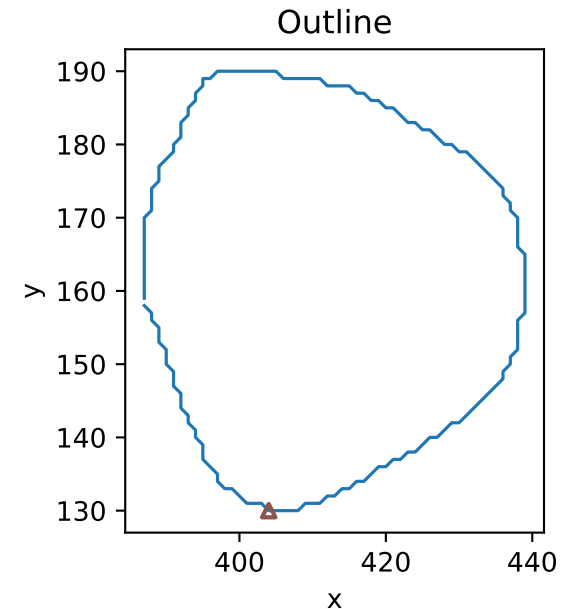
Frame 3 | t=36.000



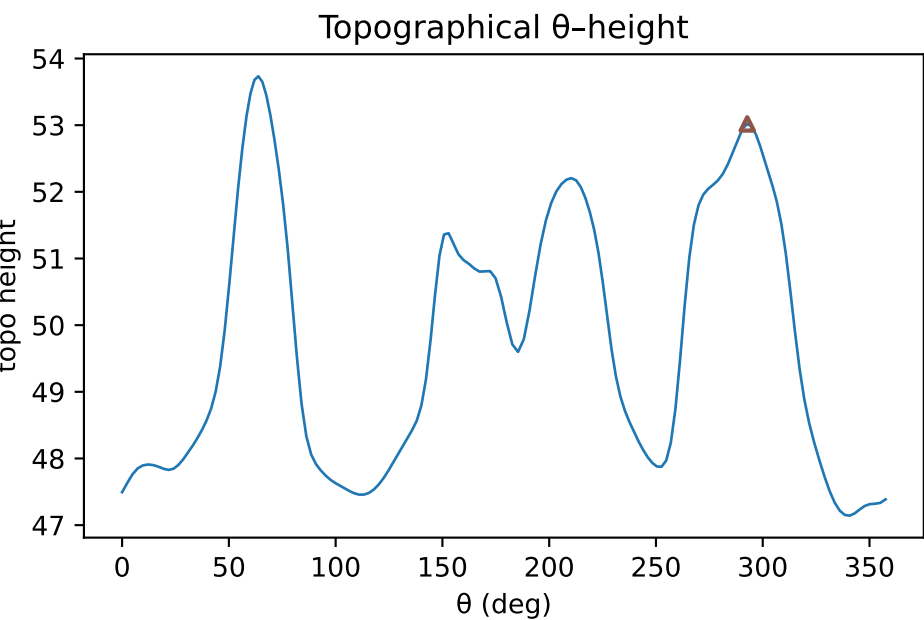
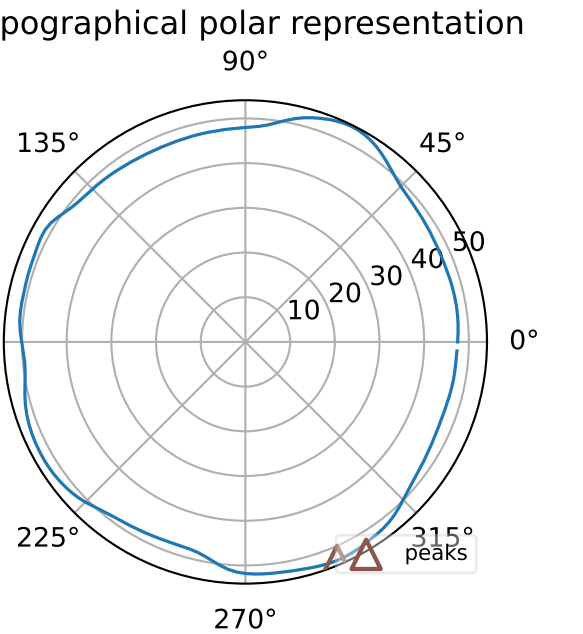
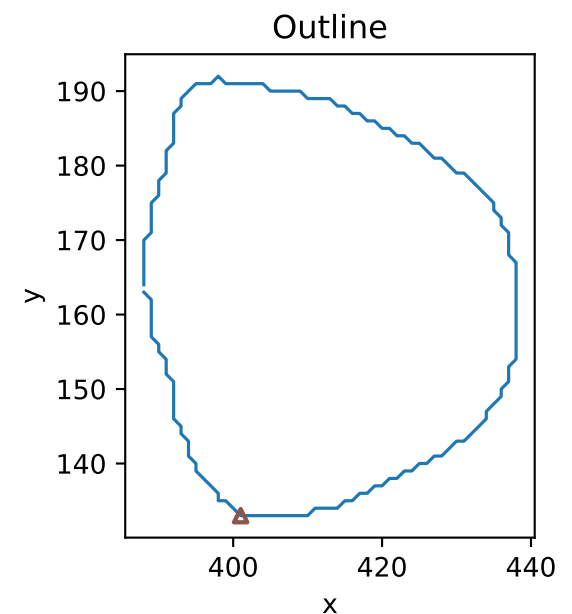
Frame 4 | t=38.000



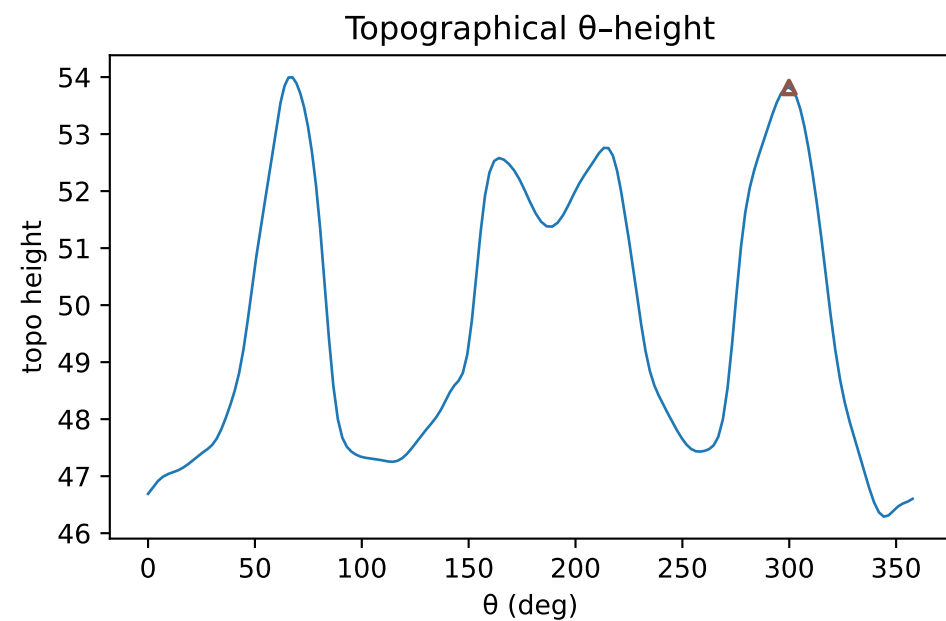
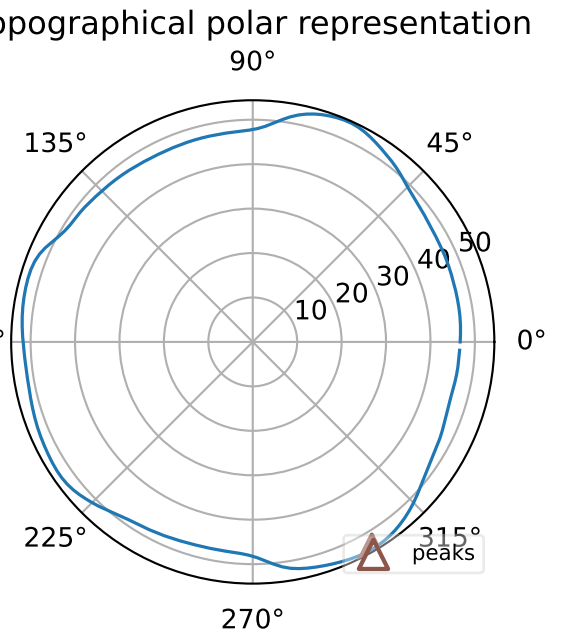
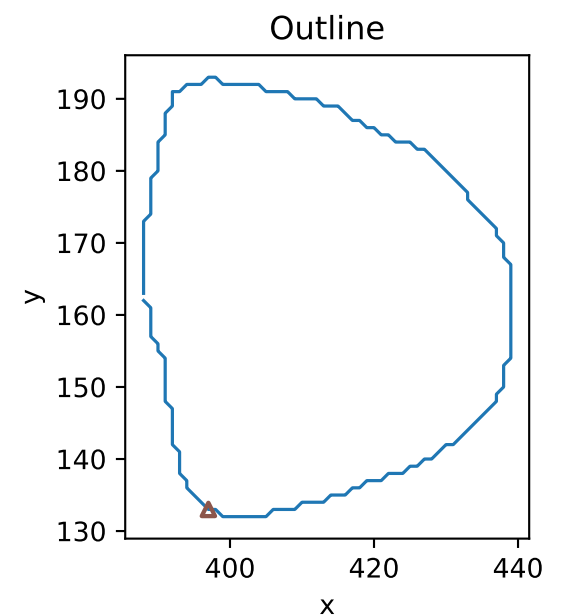
Frame 5 | t=39.000



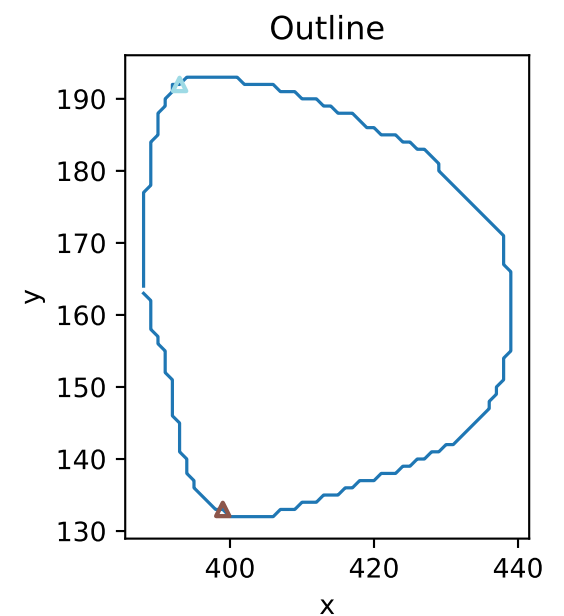
Frame 6 |  $t=40.000$



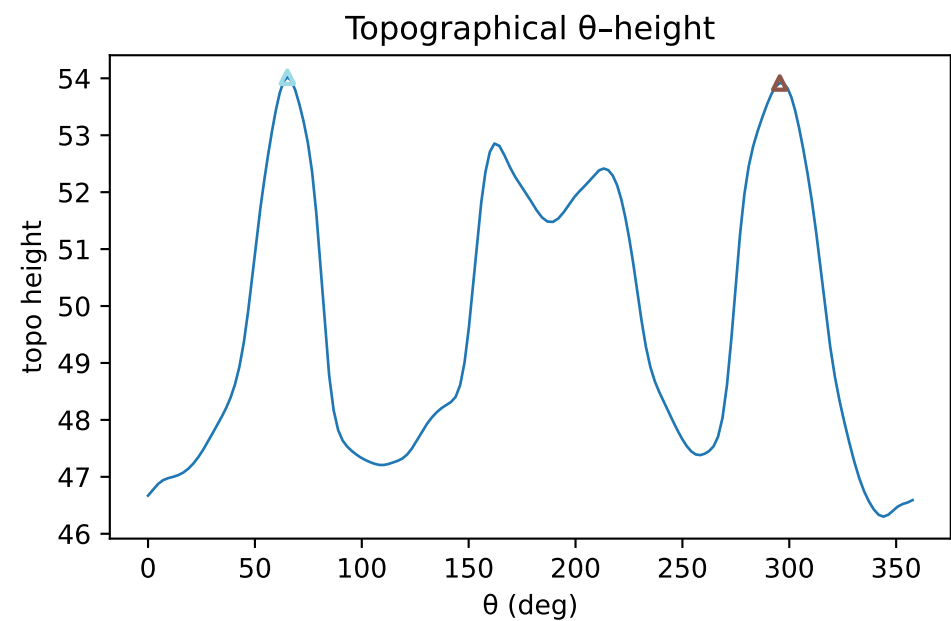
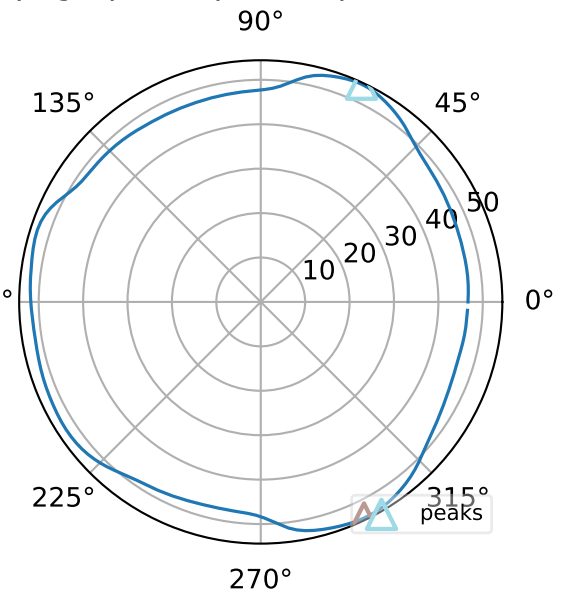
Frame 7 | t=41.000



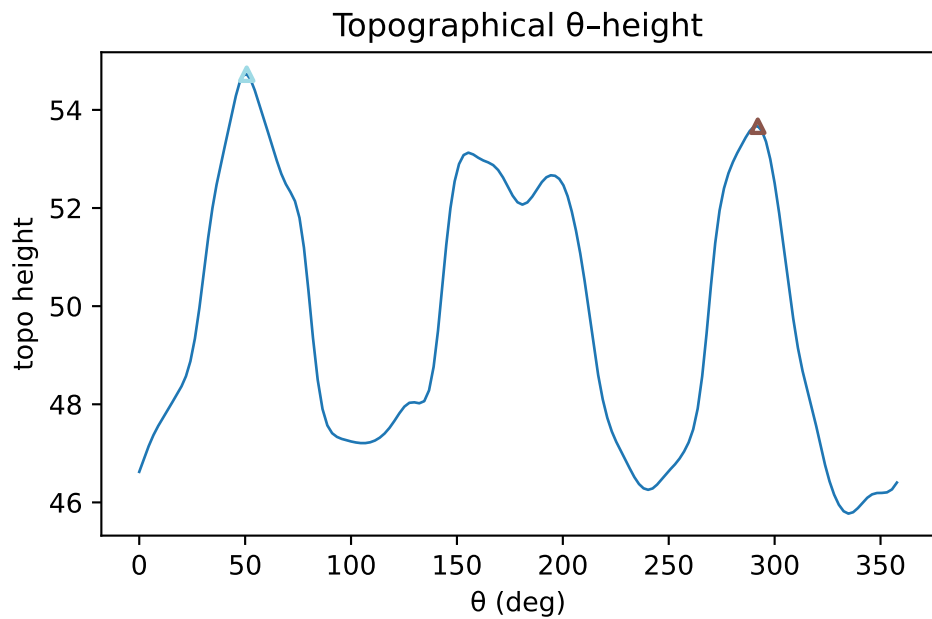
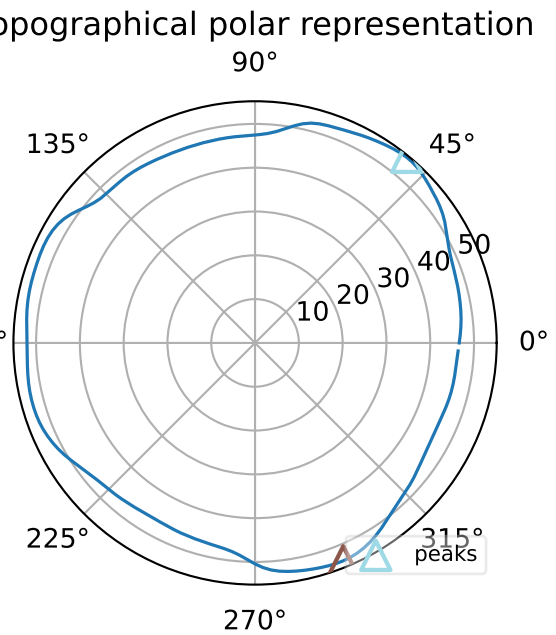
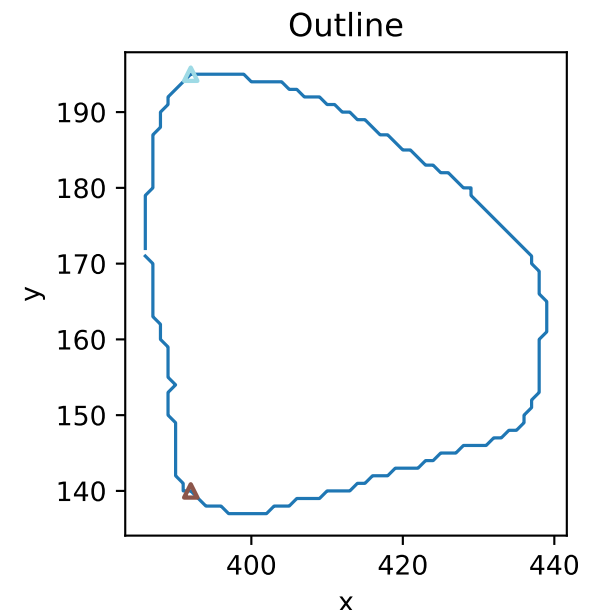
Frame 8 | t=42.000



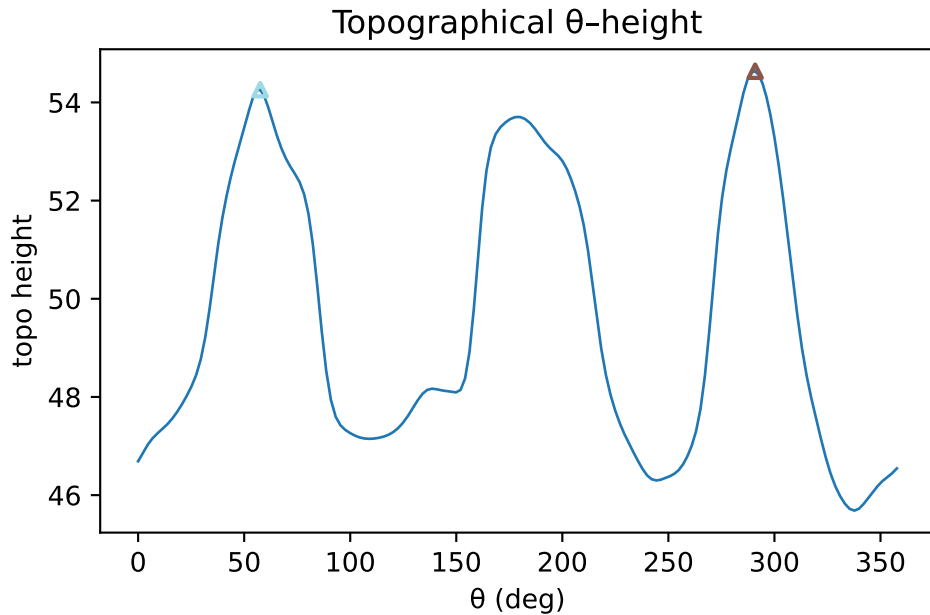
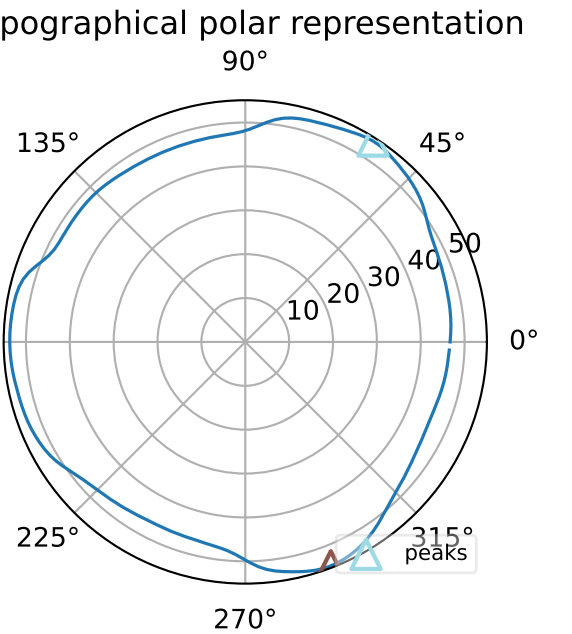
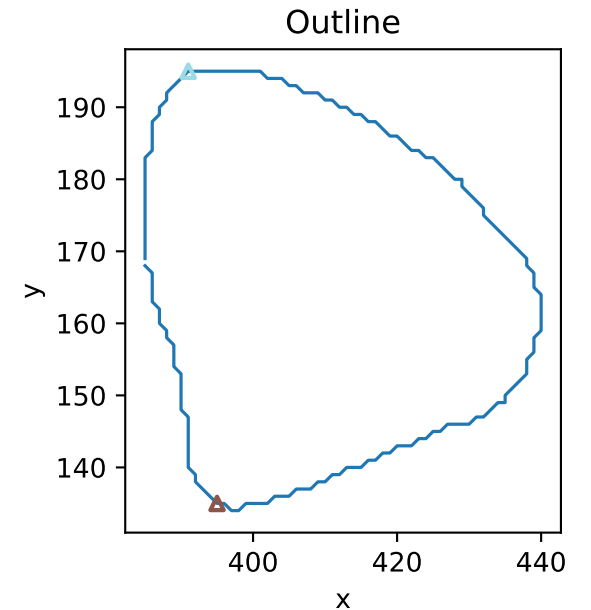
Topographical polar representation



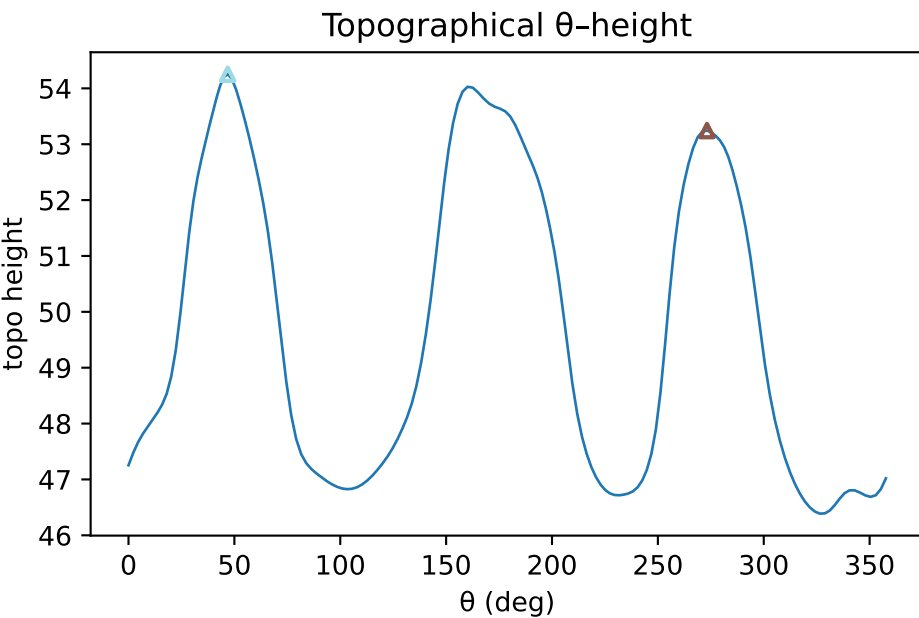
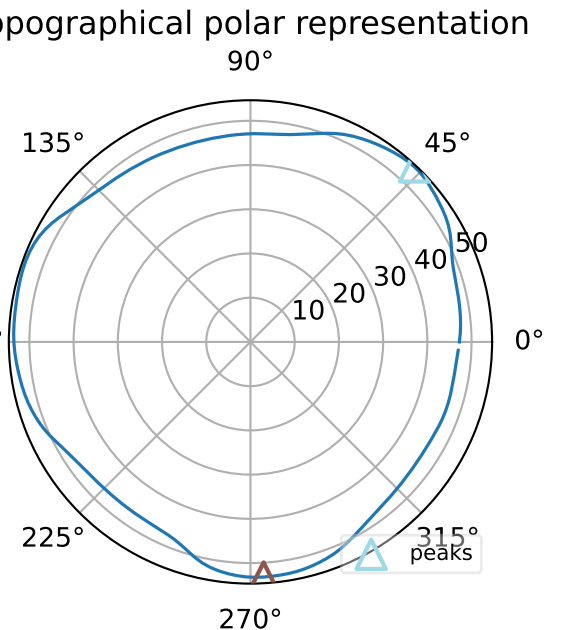
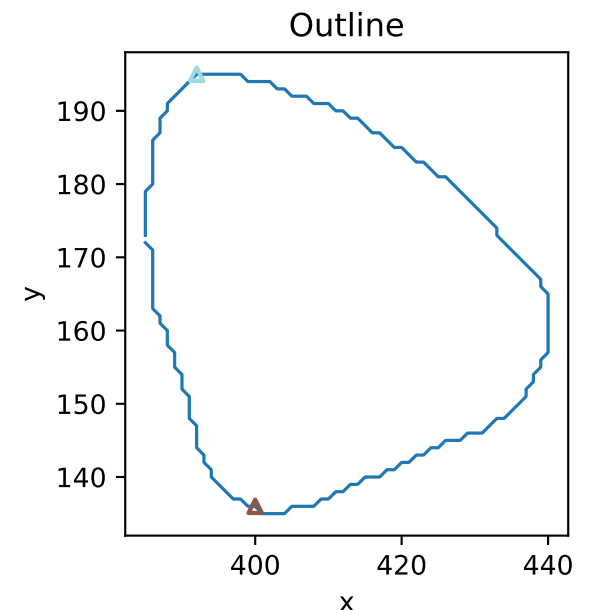
Frame 9 | t=43.000



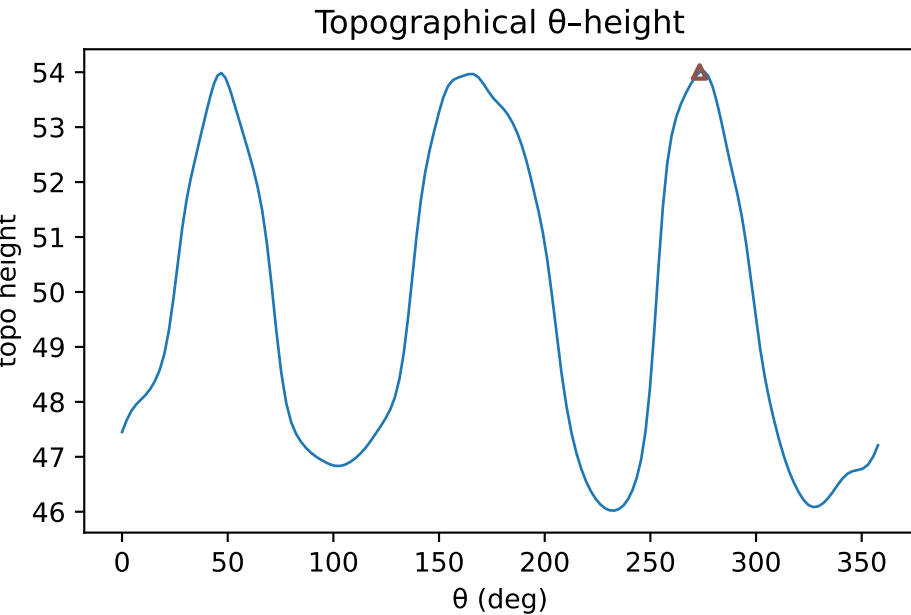
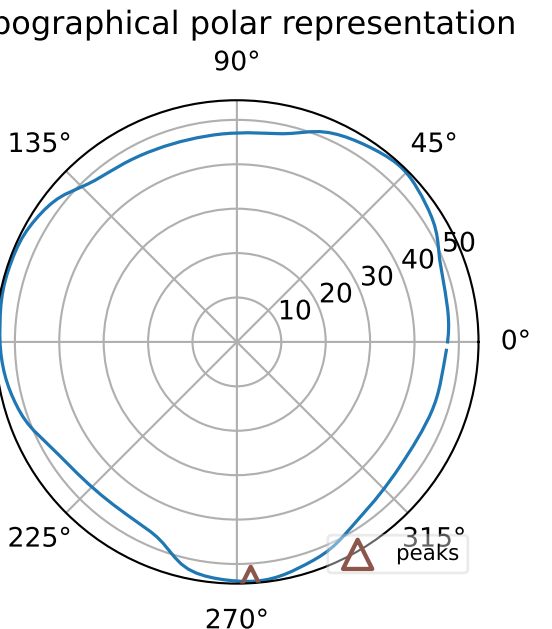
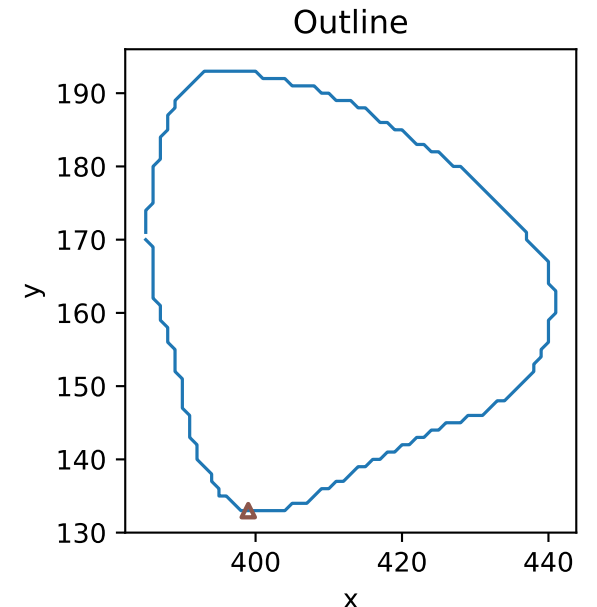
Frame 10 | t=44.000



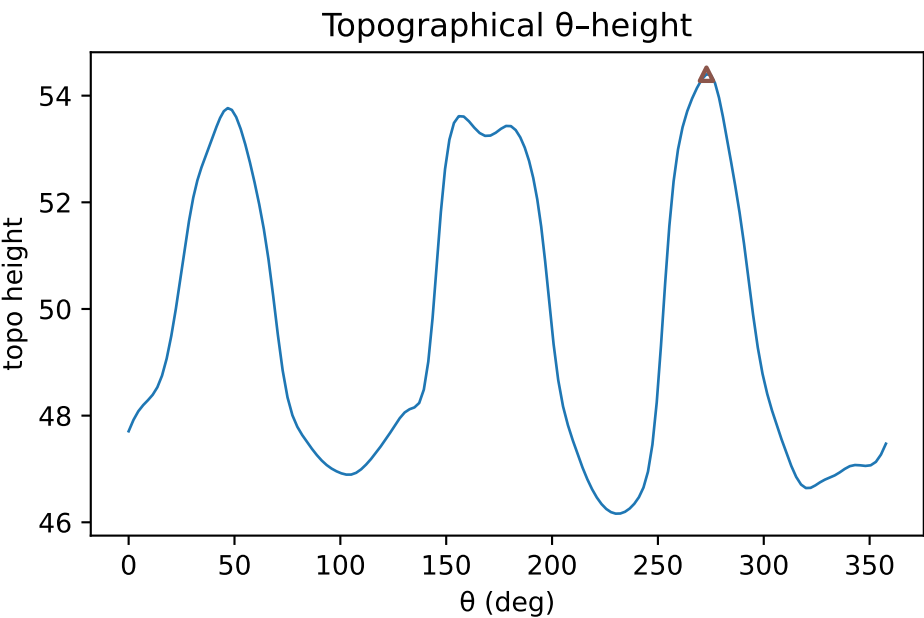
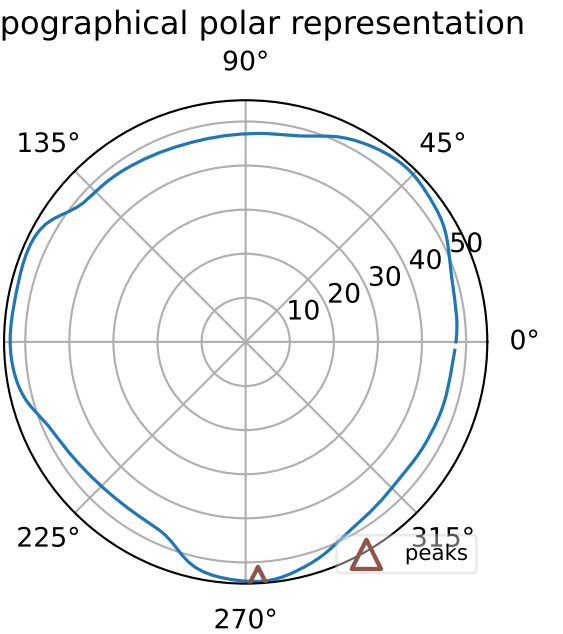
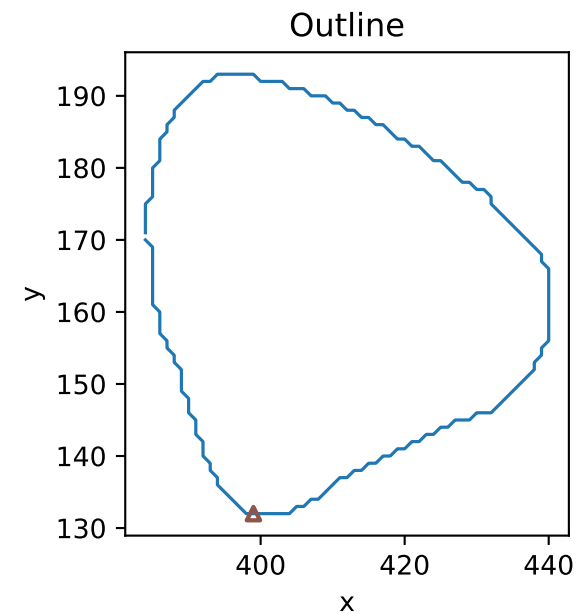
Frame 11 | t=45.000



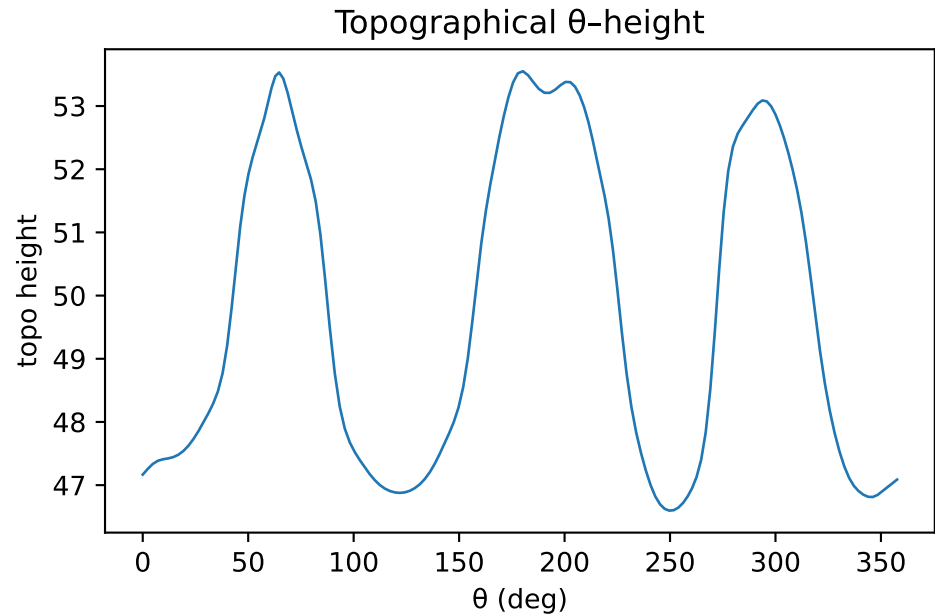
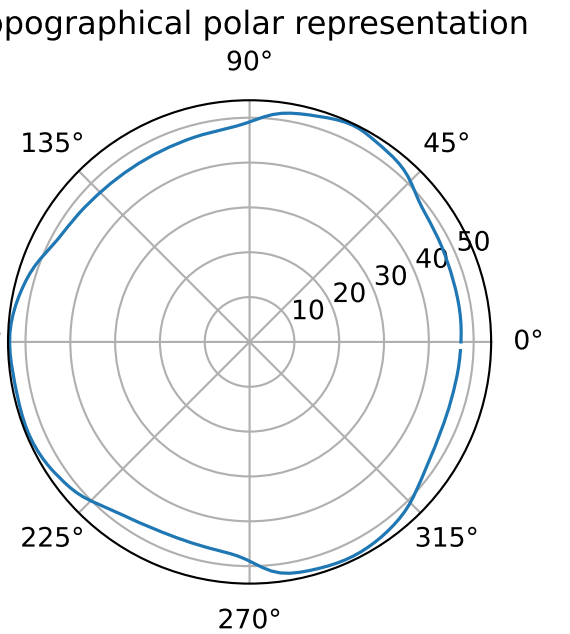
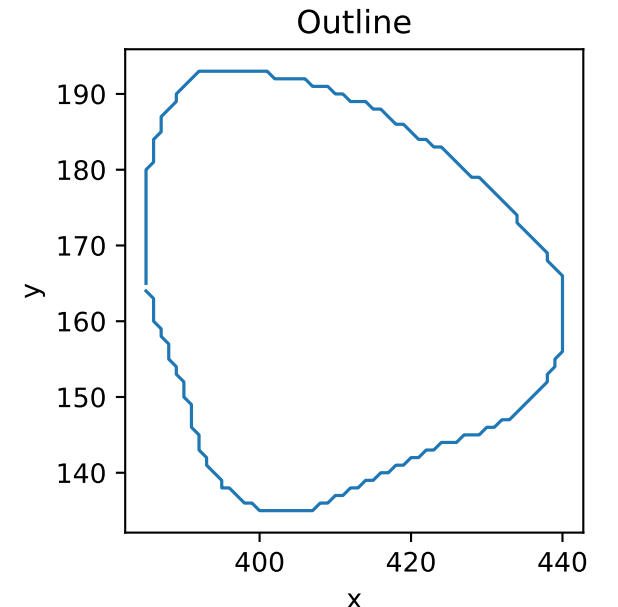
Frame 12 | t=46.000



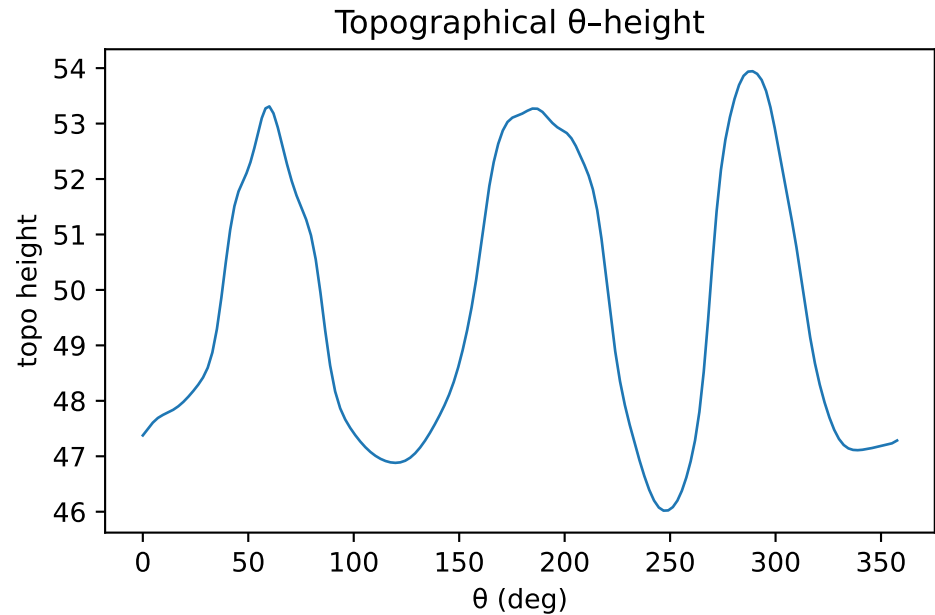
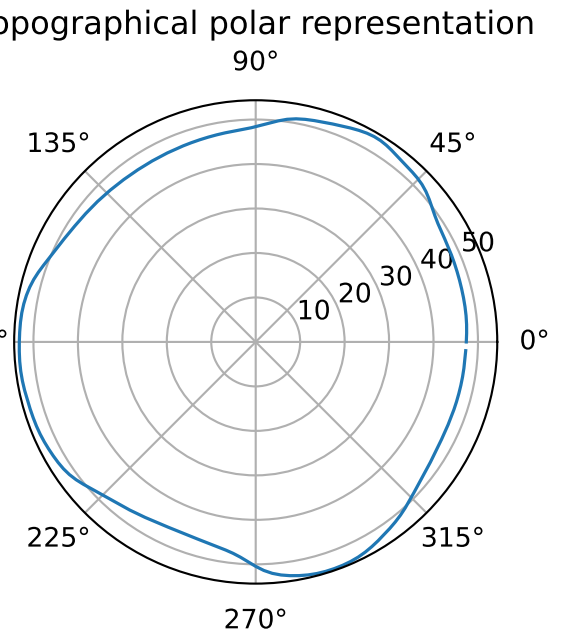
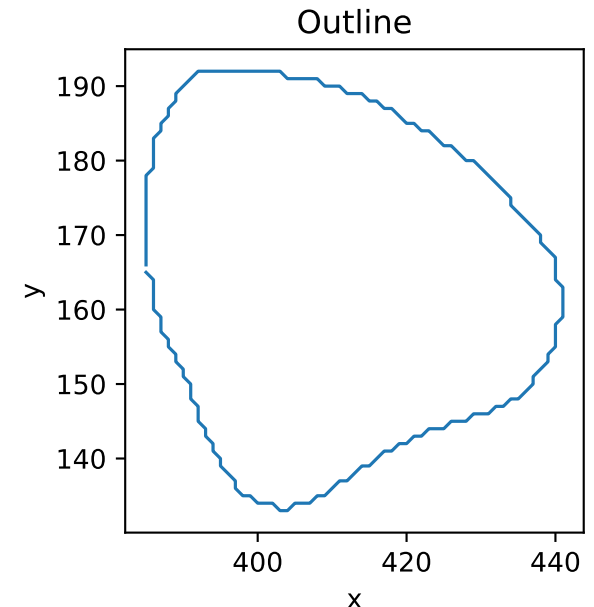
Frame 13 | t=47.000



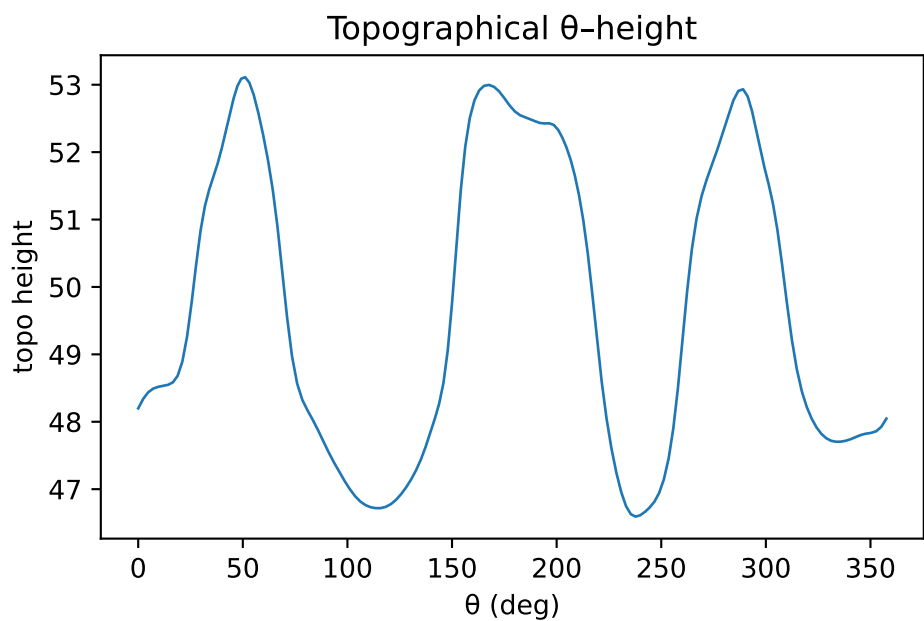
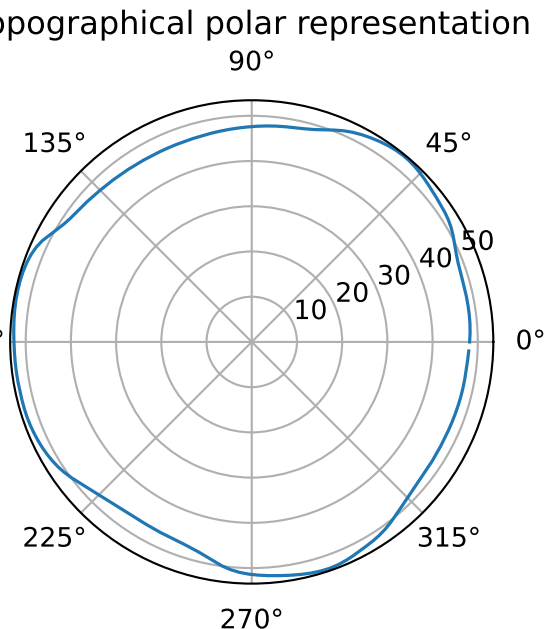
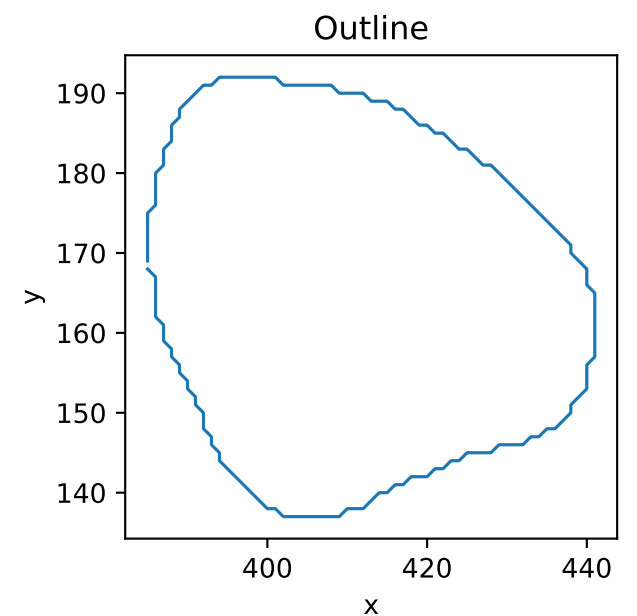
Frame 14 | t=48.000



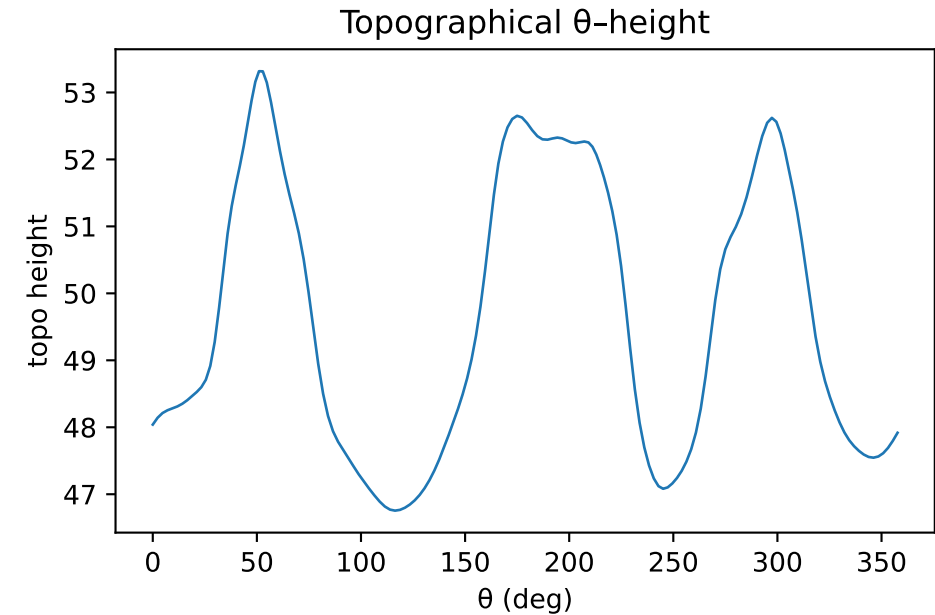
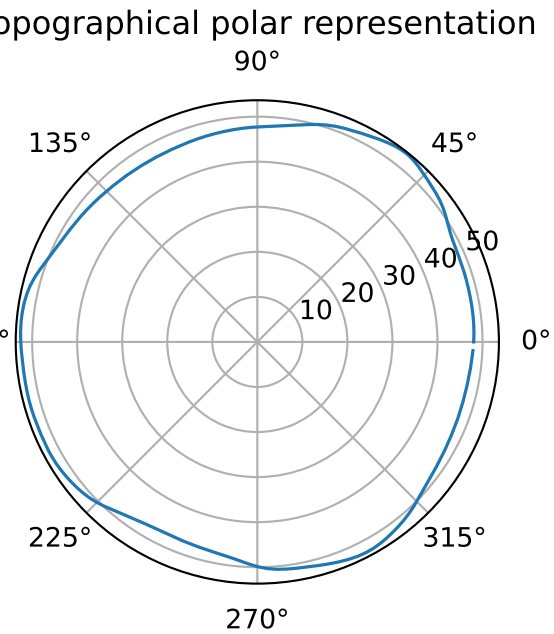
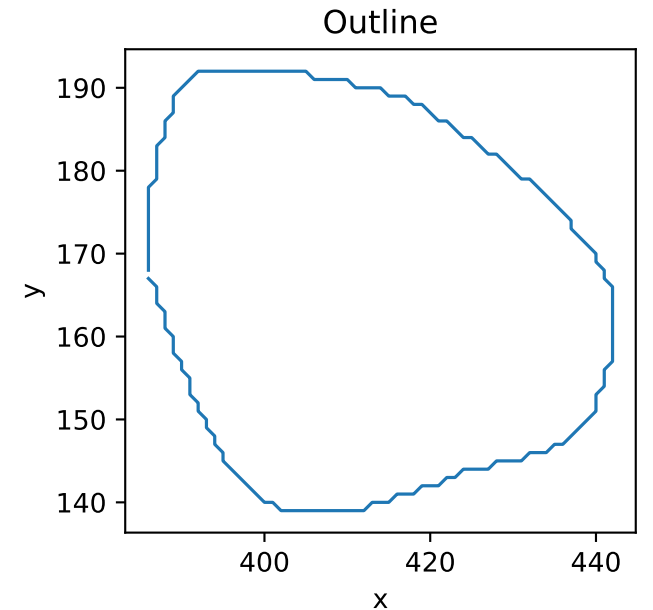
Frame 15 | t=49.000



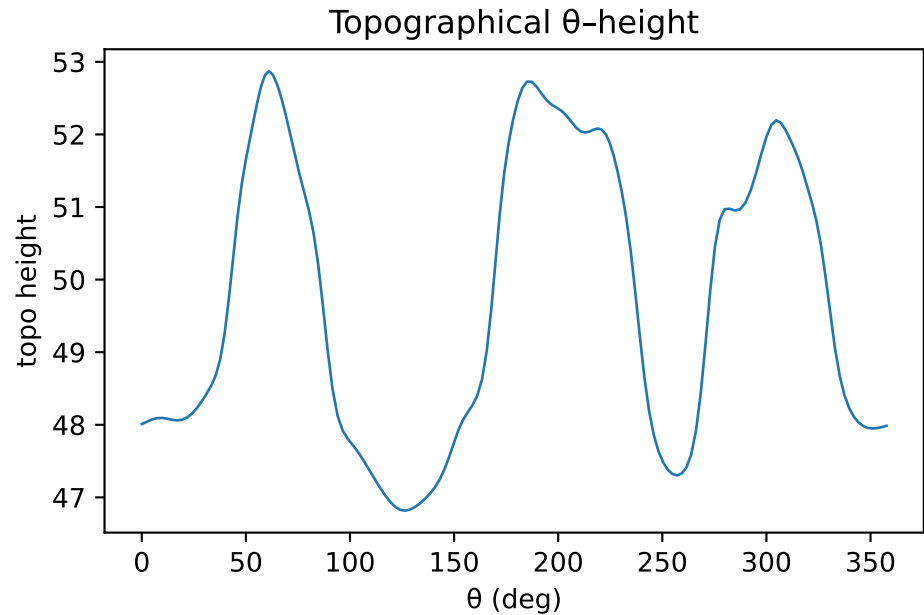
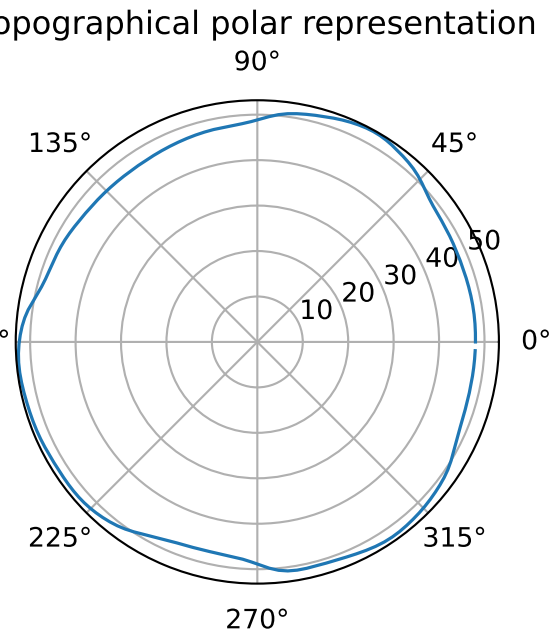
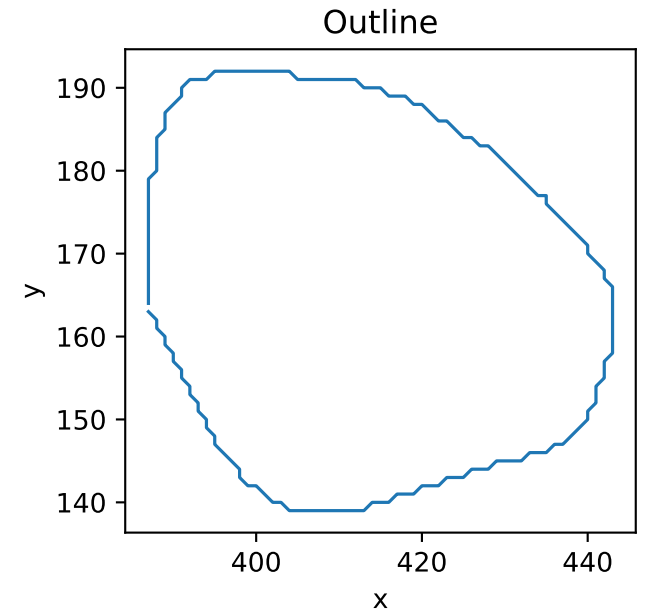
Frame 16 | t=50.000



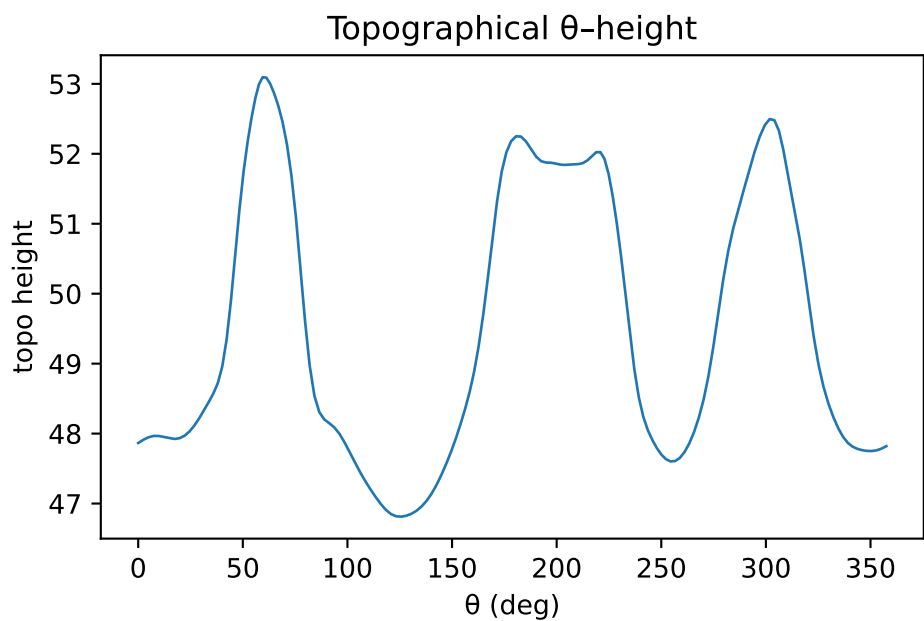
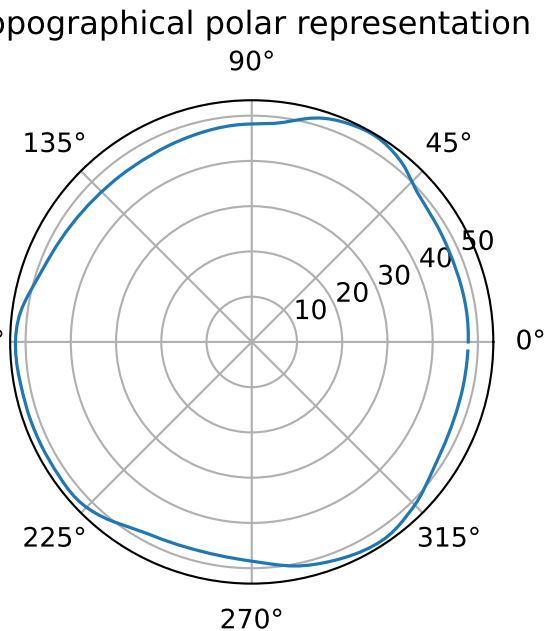
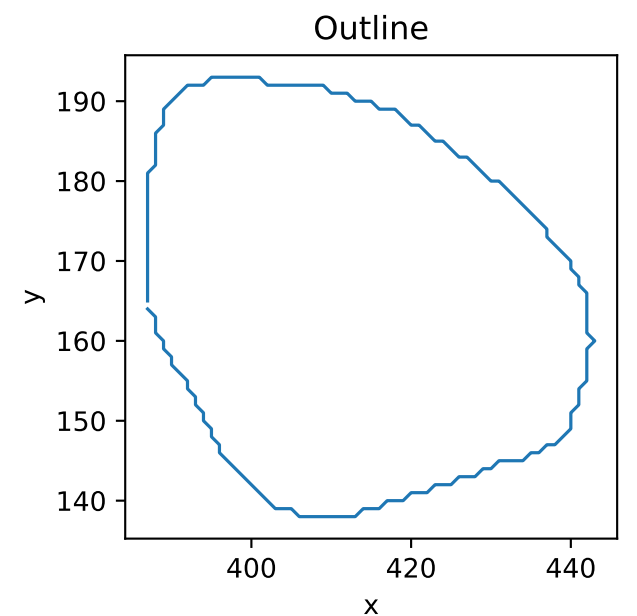
Frame 17 | t=51.000



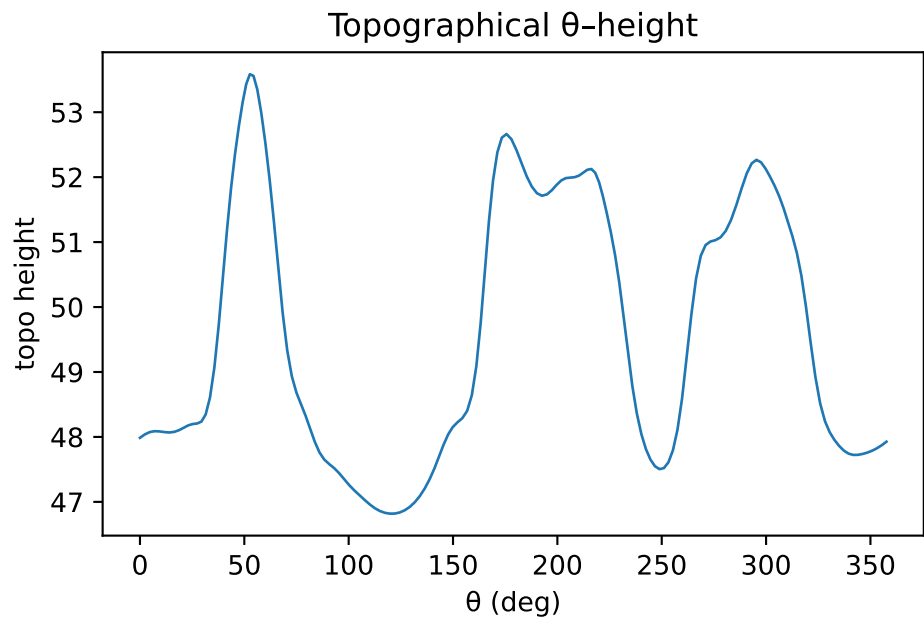
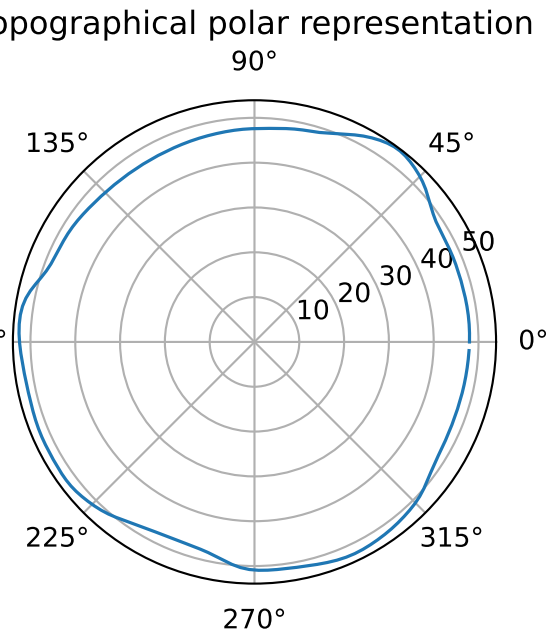
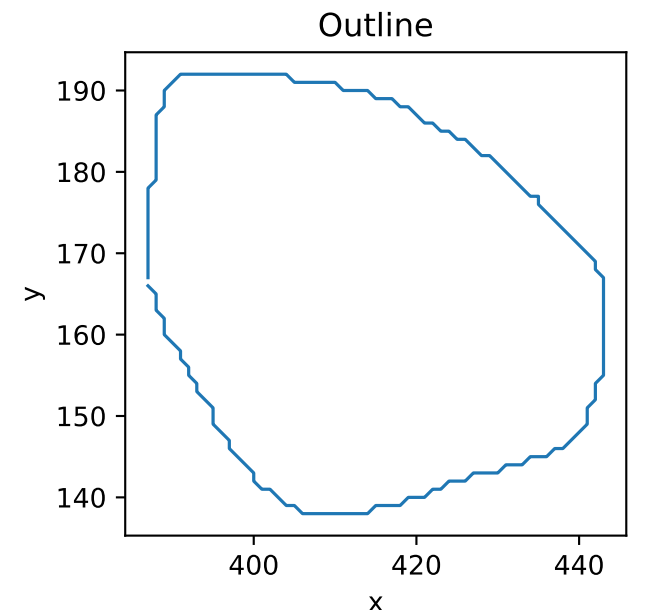
Frame 18 | t=52.000



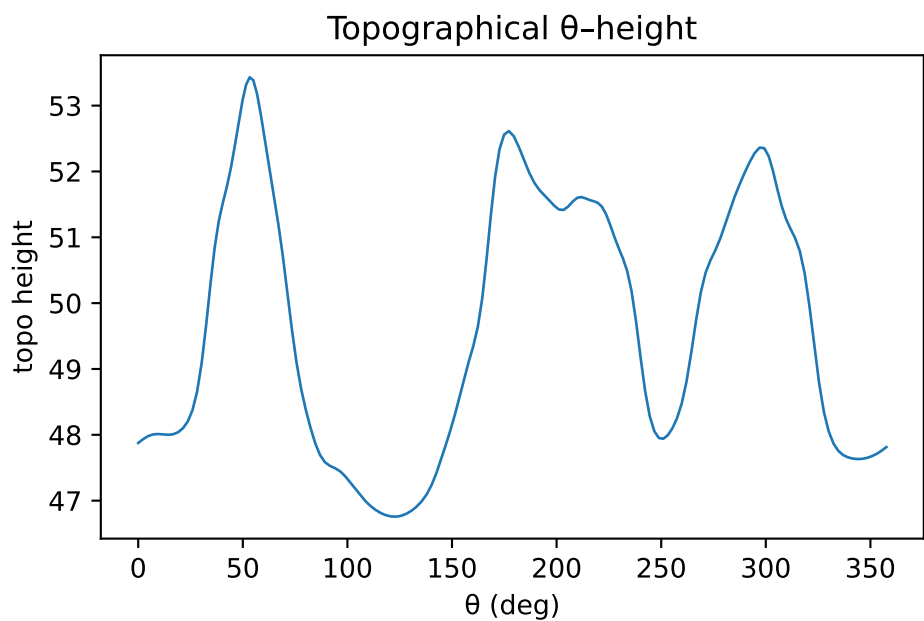
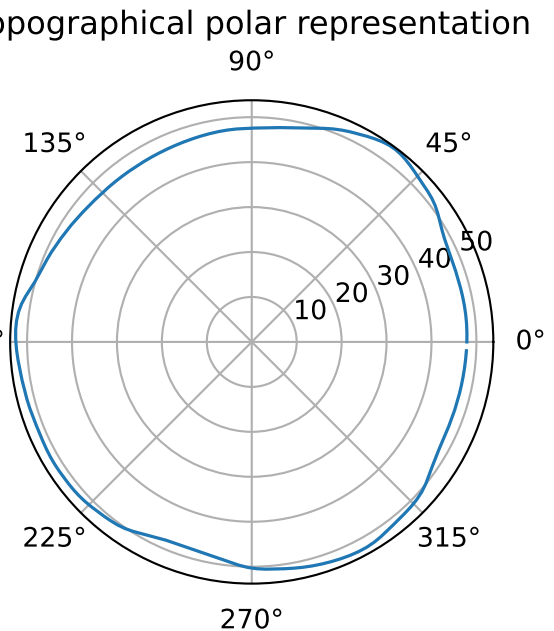
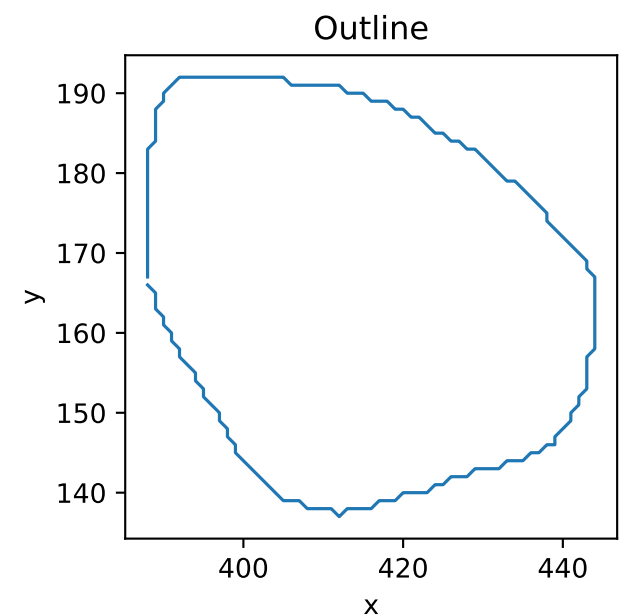
Frame 19 | t=53.000



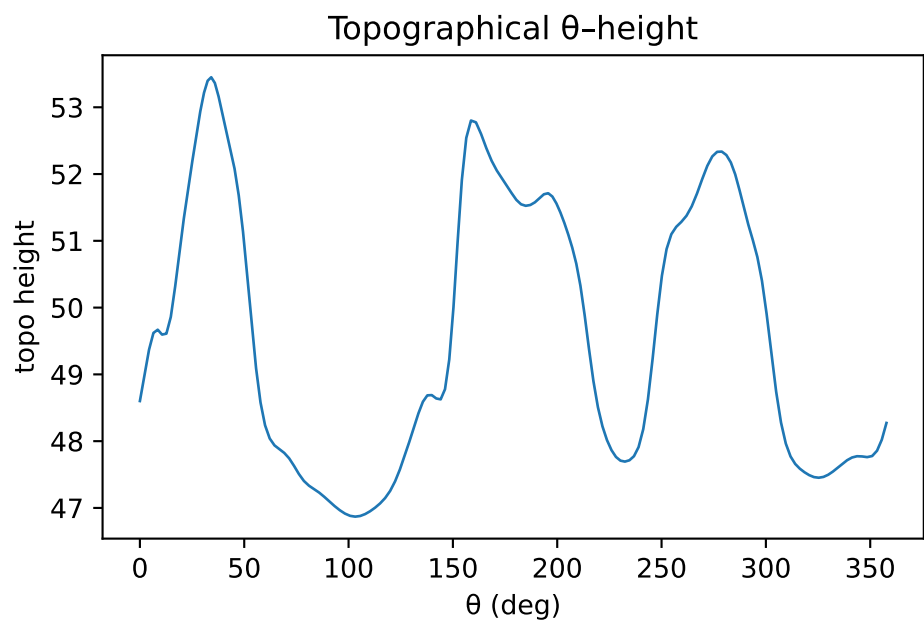
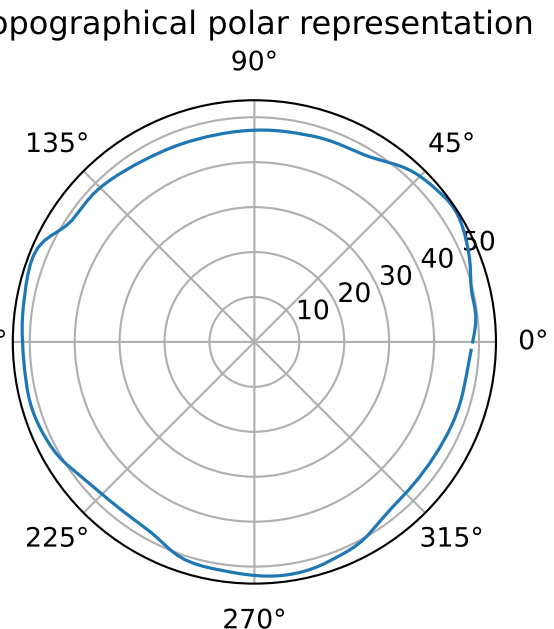
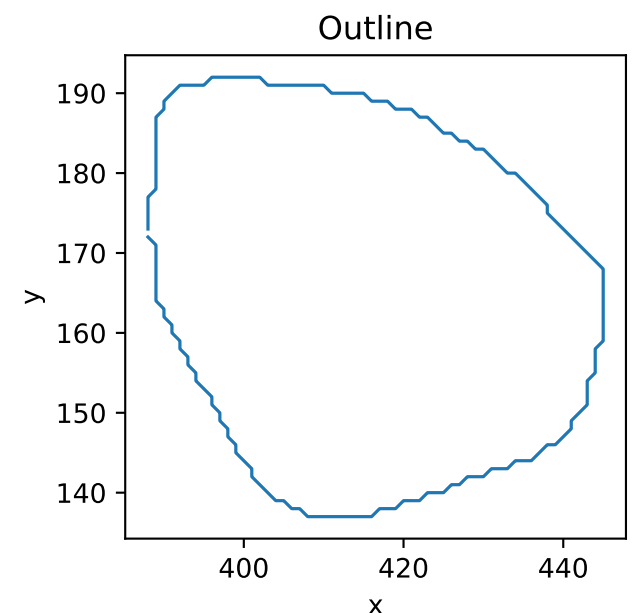
Frame 20 | t=54.000



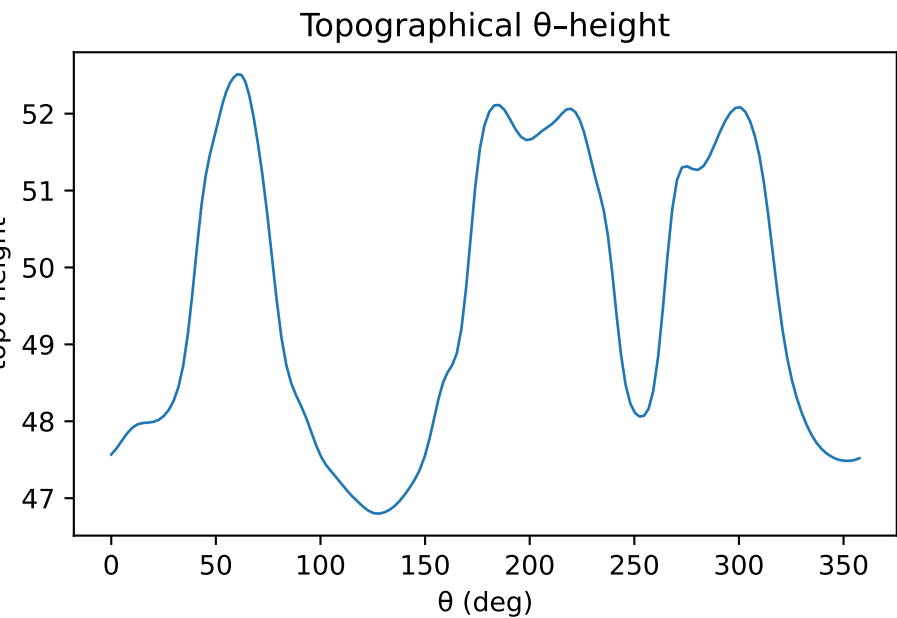
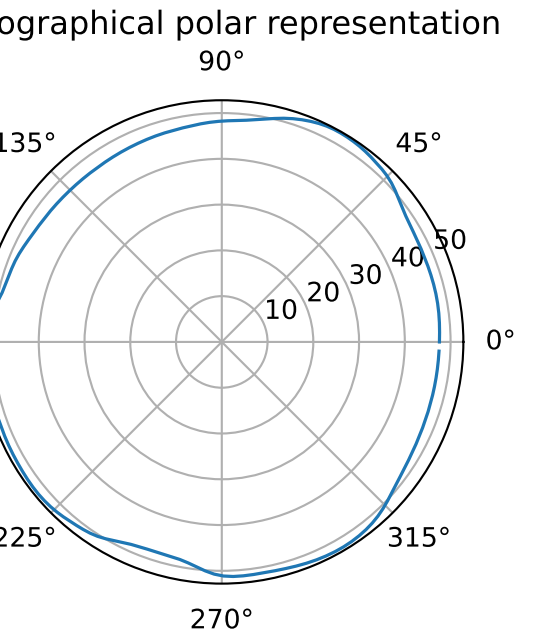
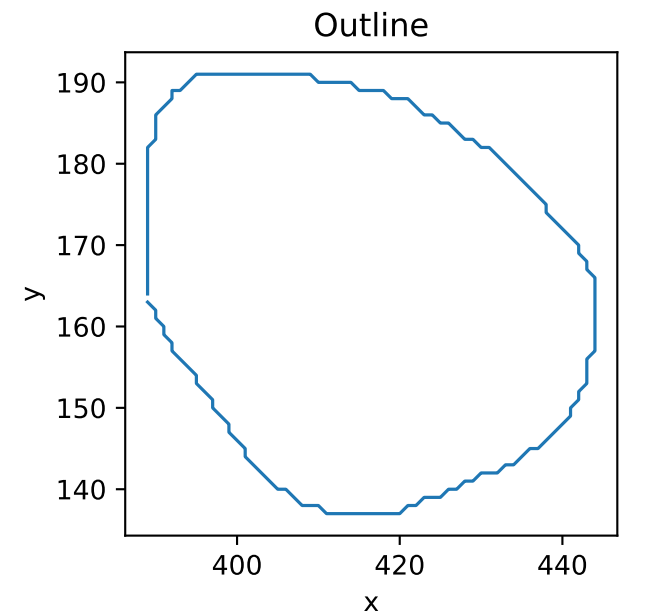
Frame 21 | t=55.000



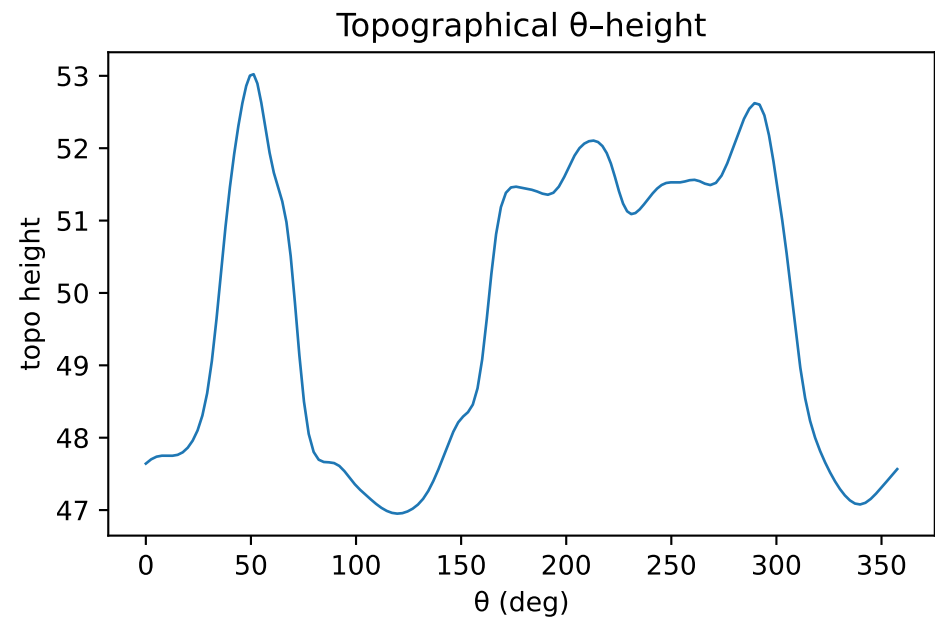
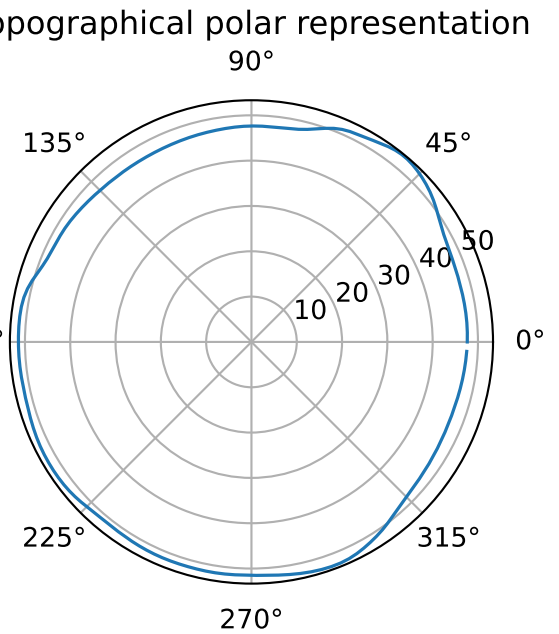
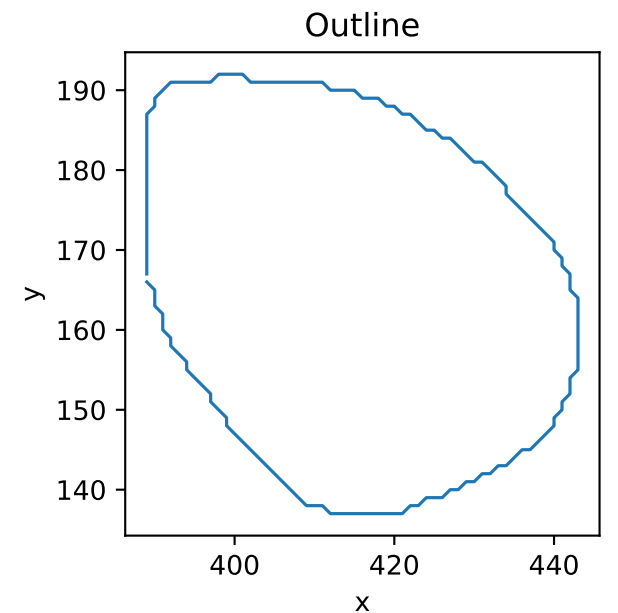
Frame 22 | t=56.000



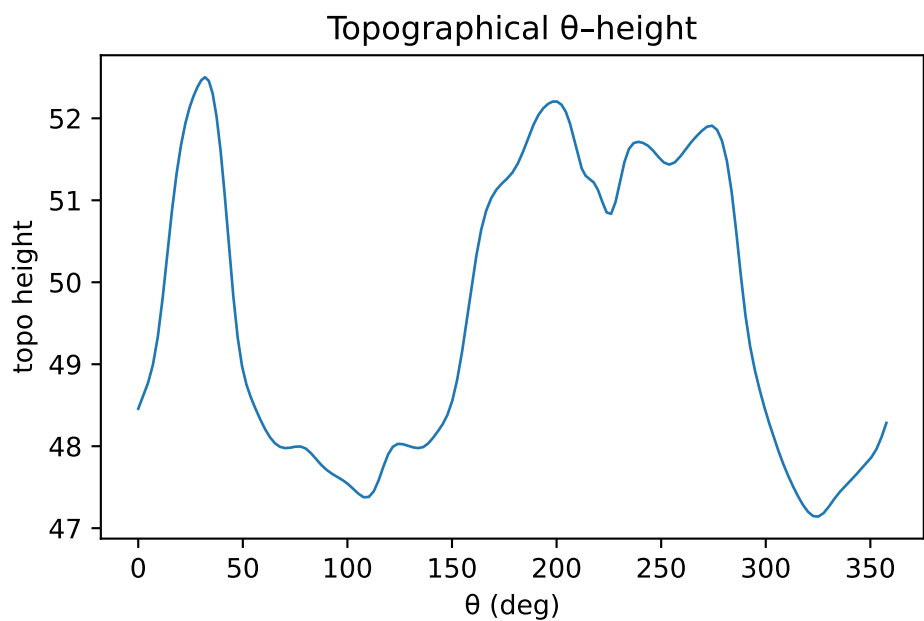
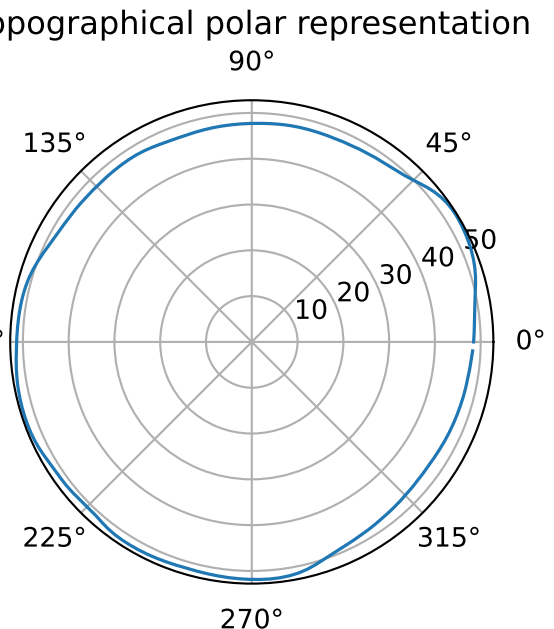
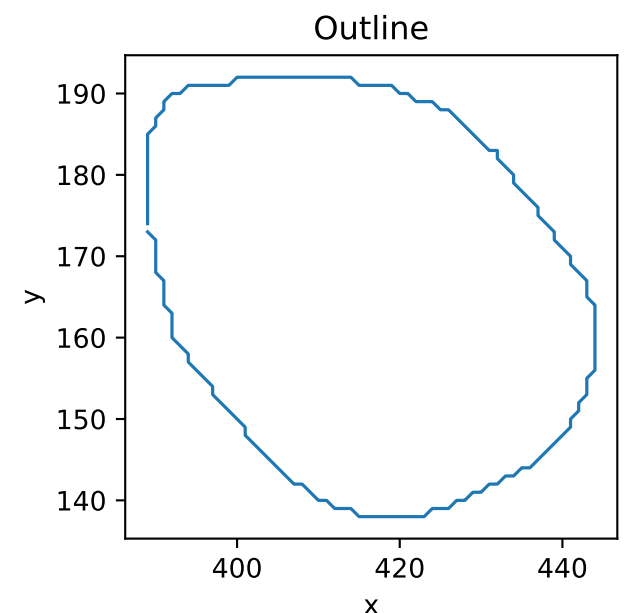
Frame 23 | t=57.000



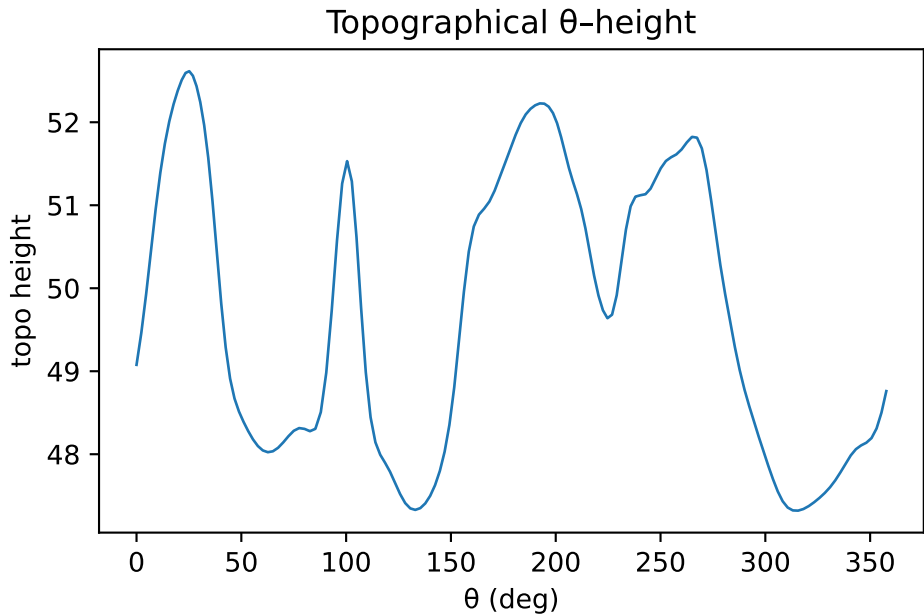
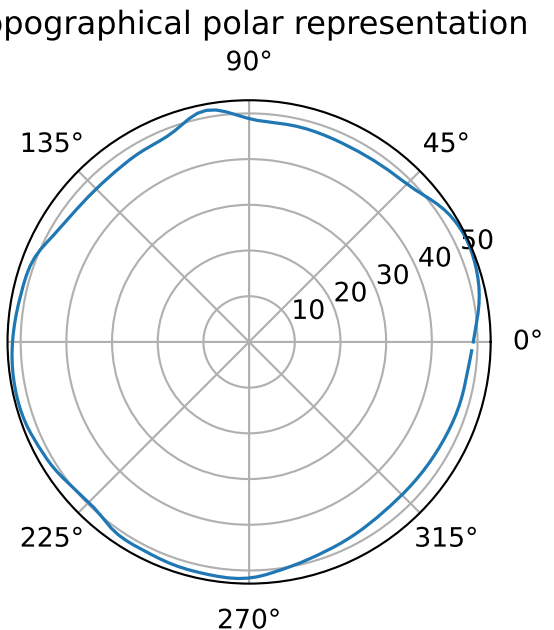
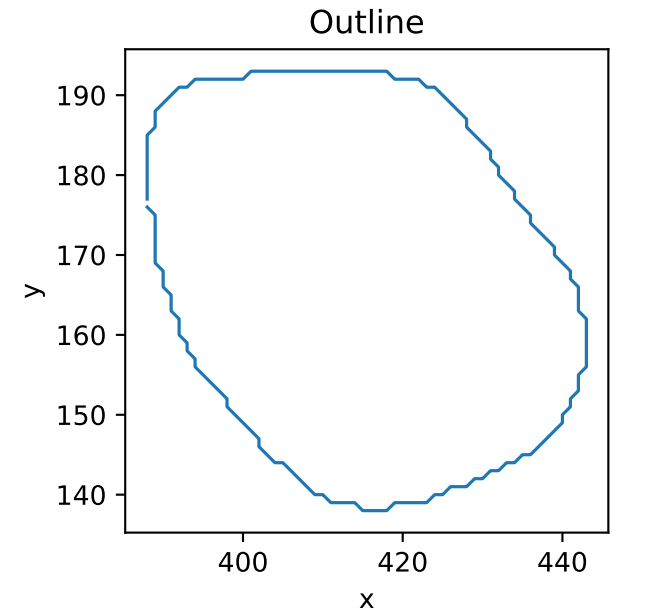
Frame 24 | t=58.000



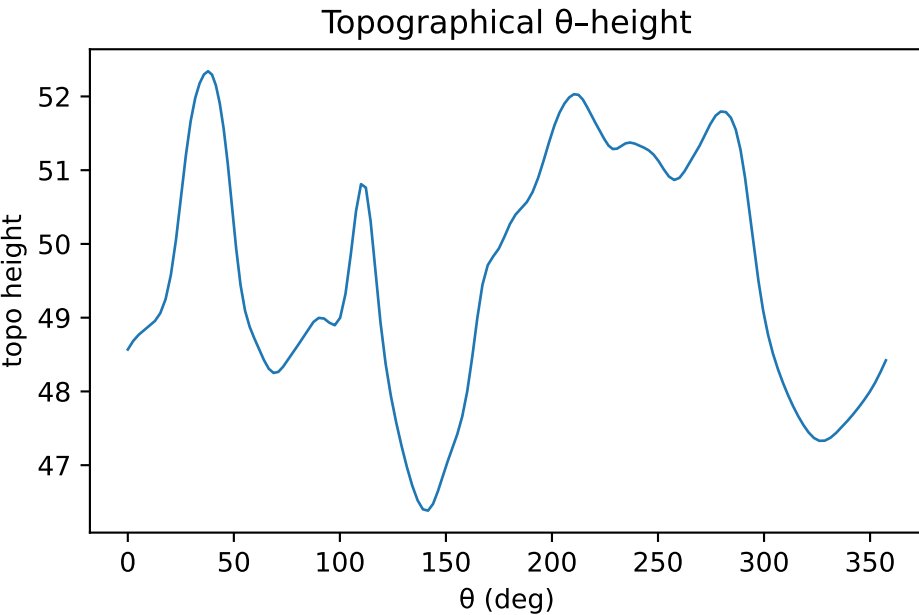
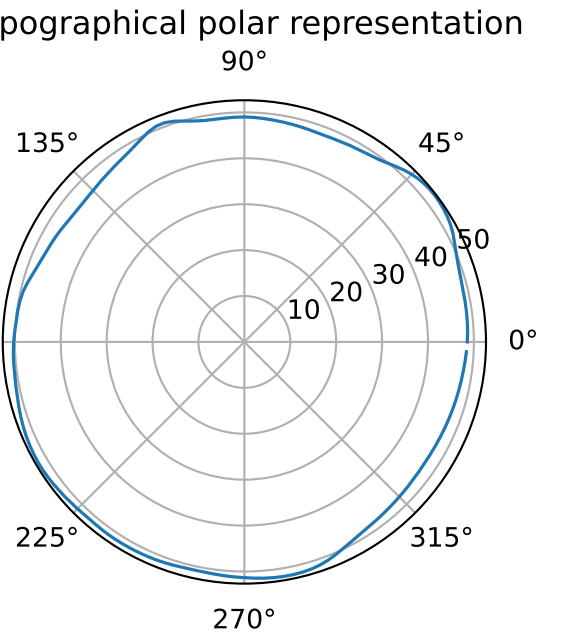
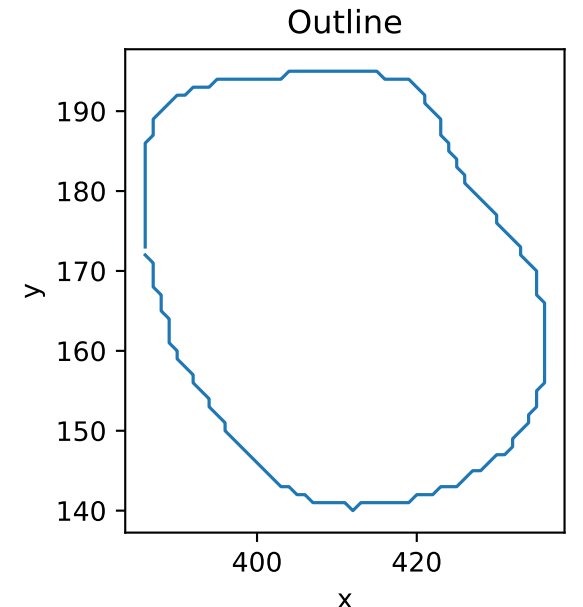
Frame 25 | t=59.000



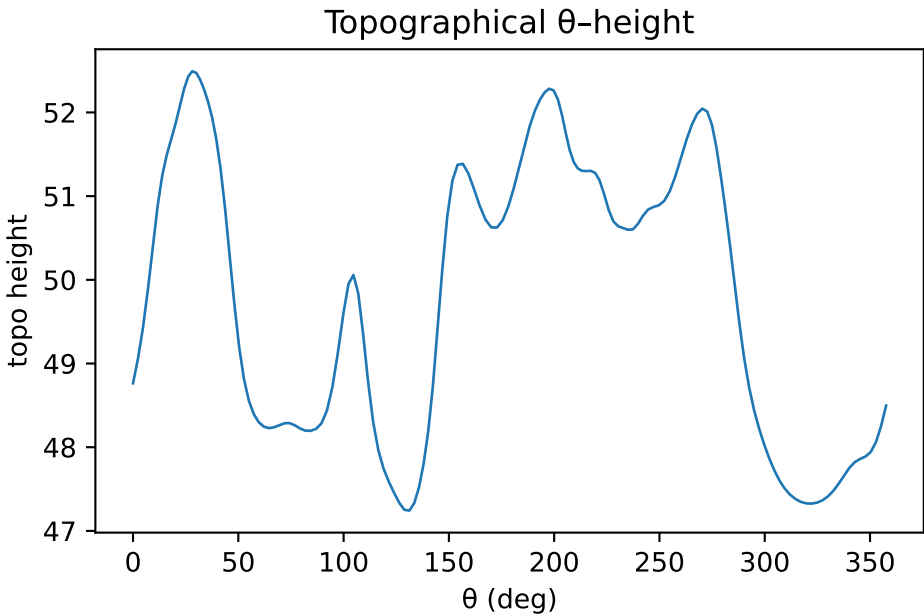
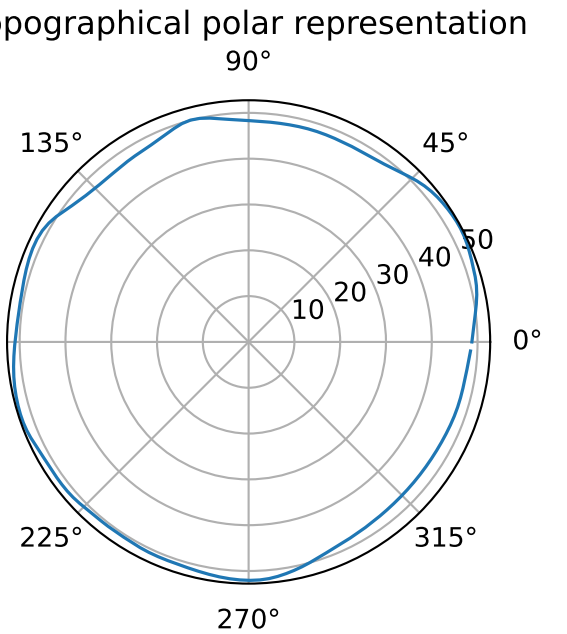
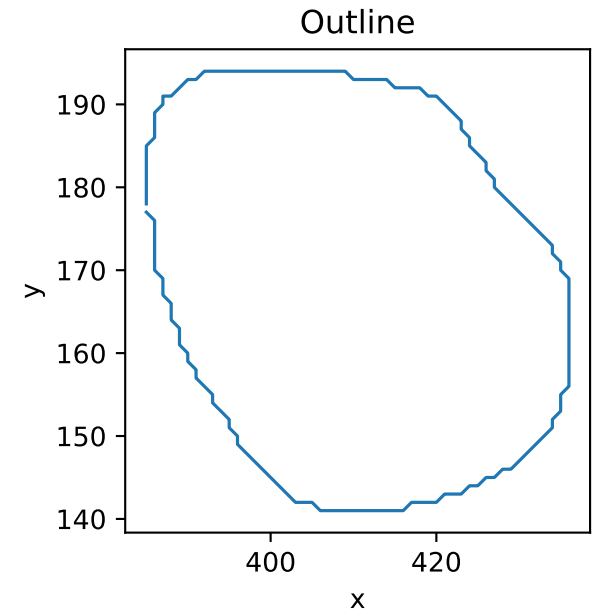
Frame 26 | t=60.000



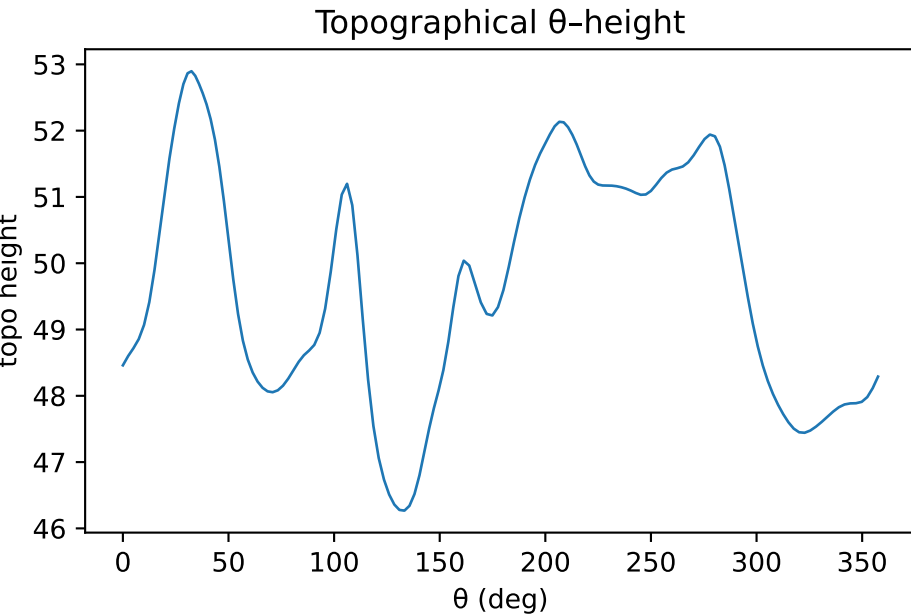
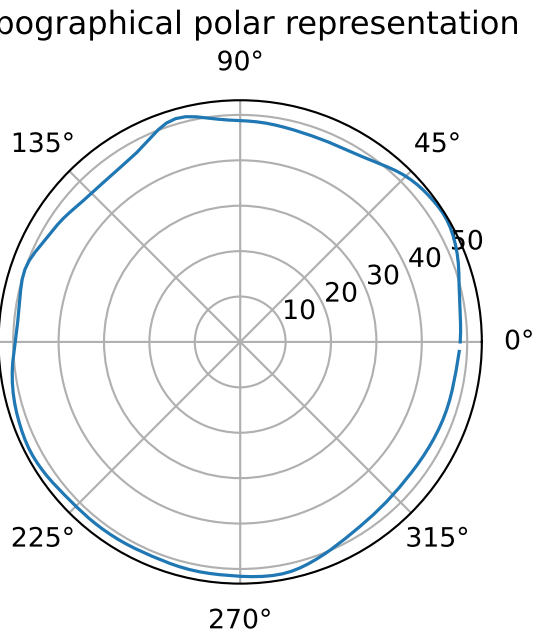
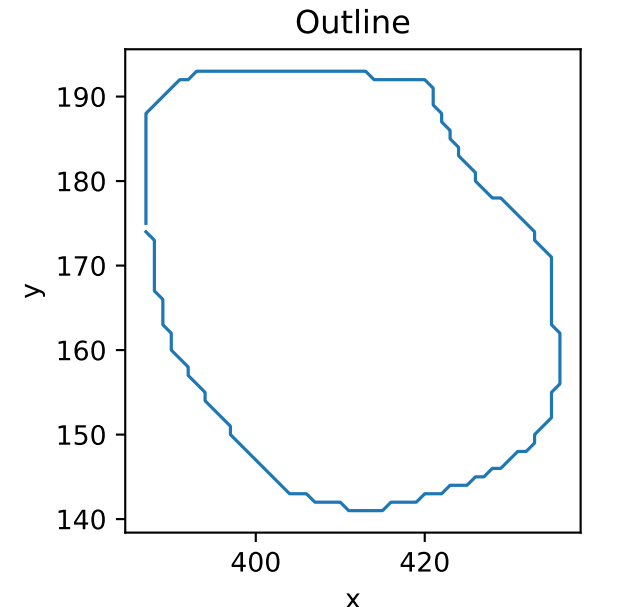
Frame 27 | t=61.000



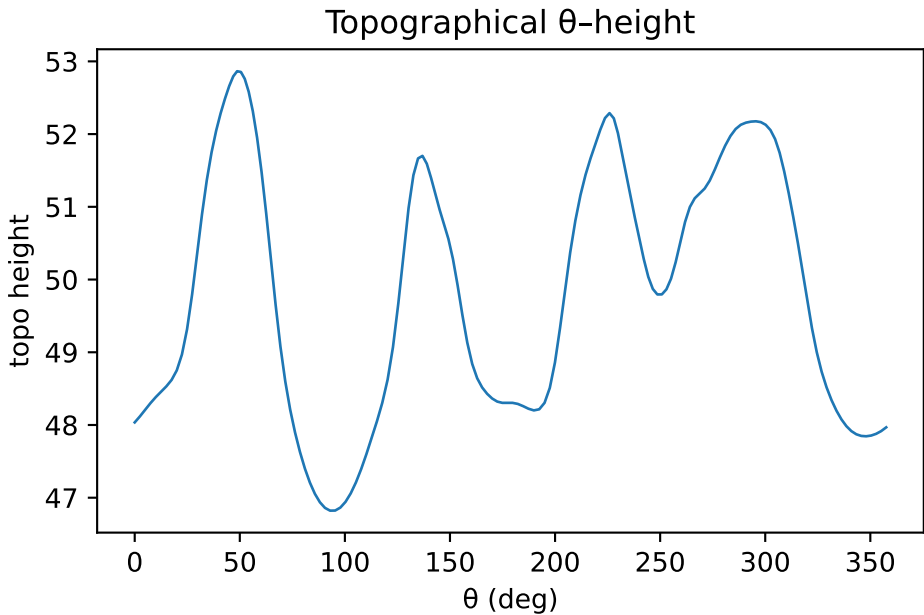
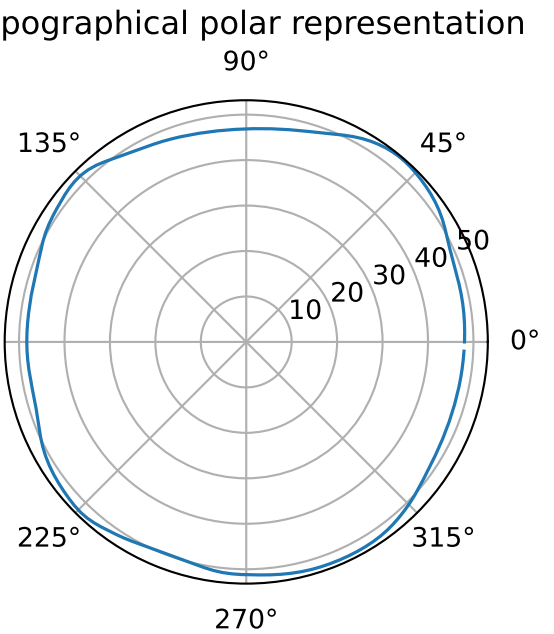
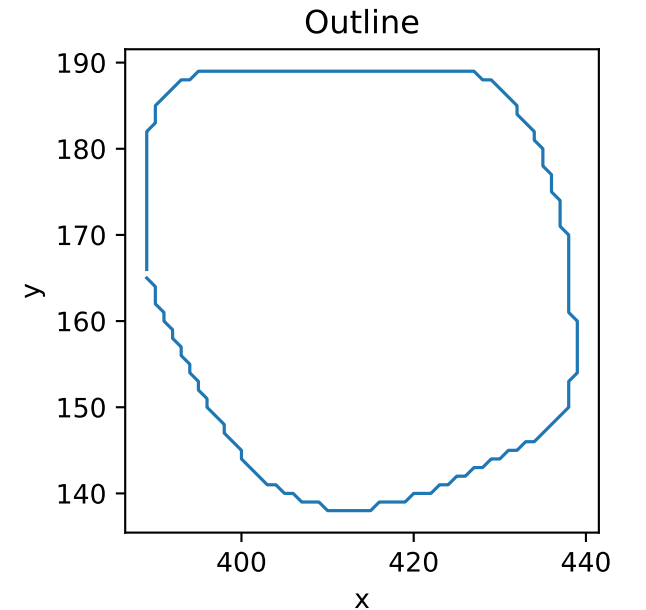
Frame 28 | t=62.000



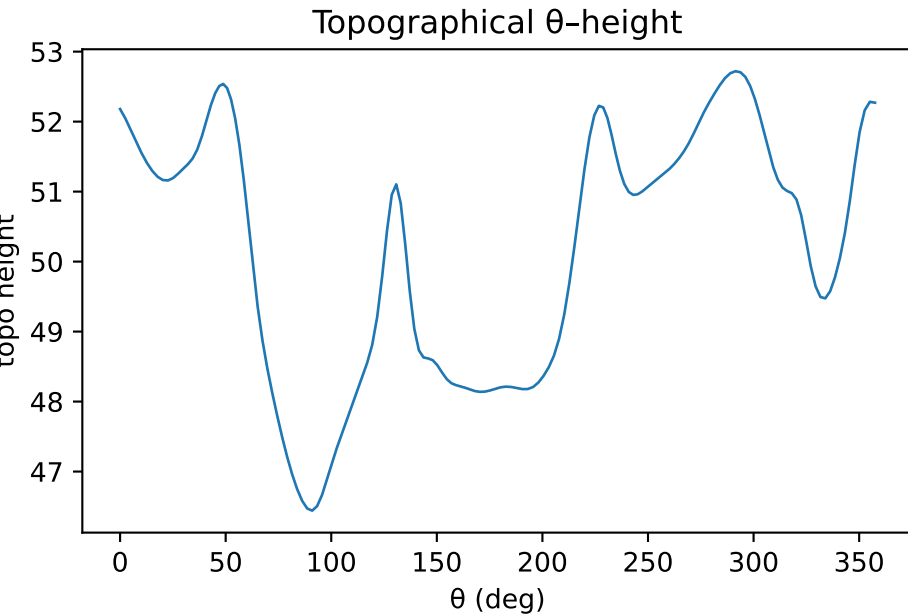
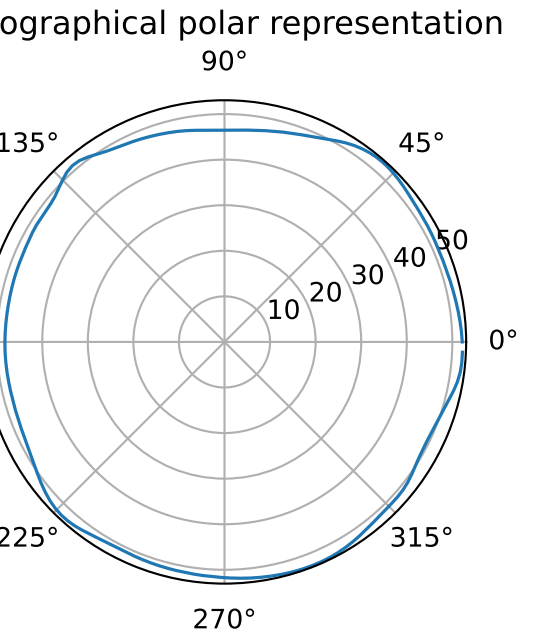
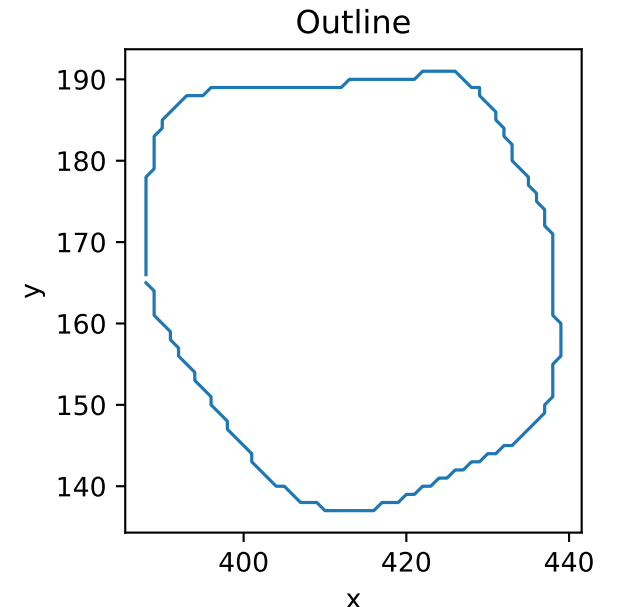
Frame 29 | t=63.000



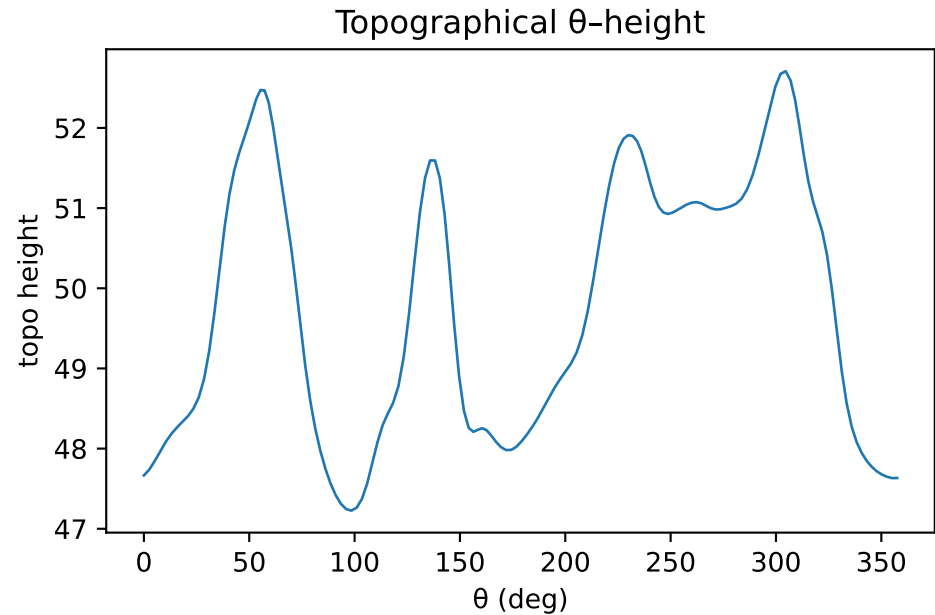
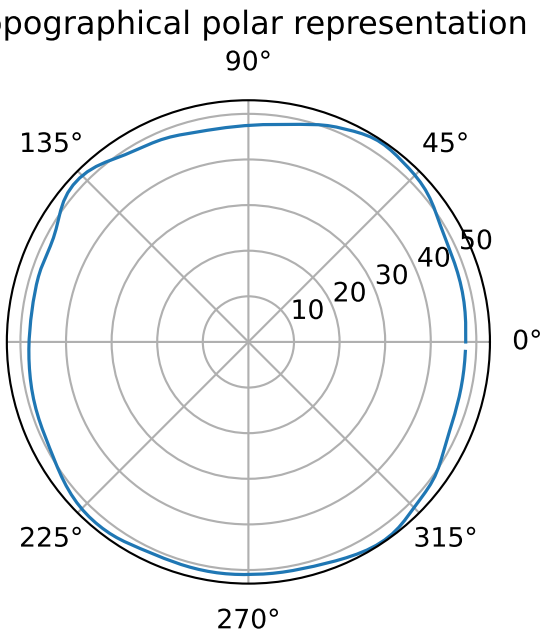
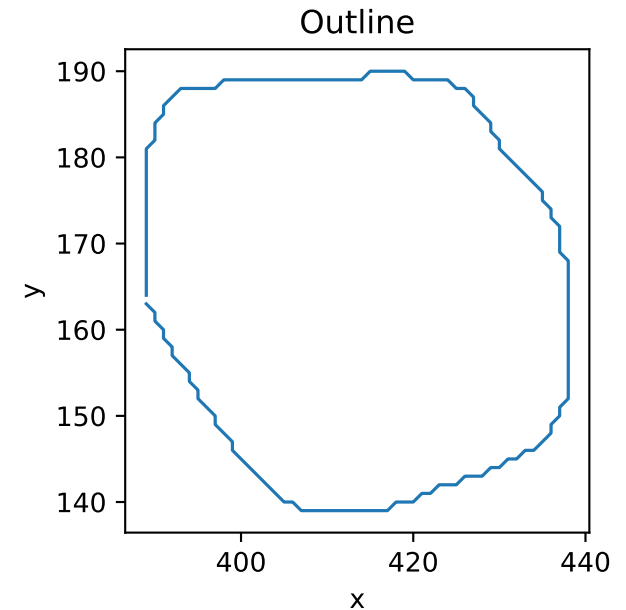
Frame 30 | t=64.000



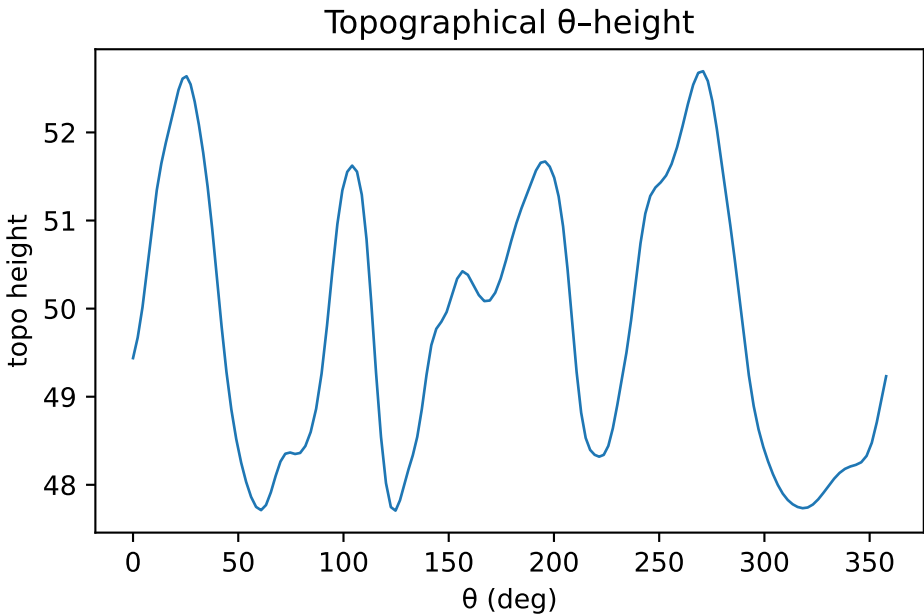
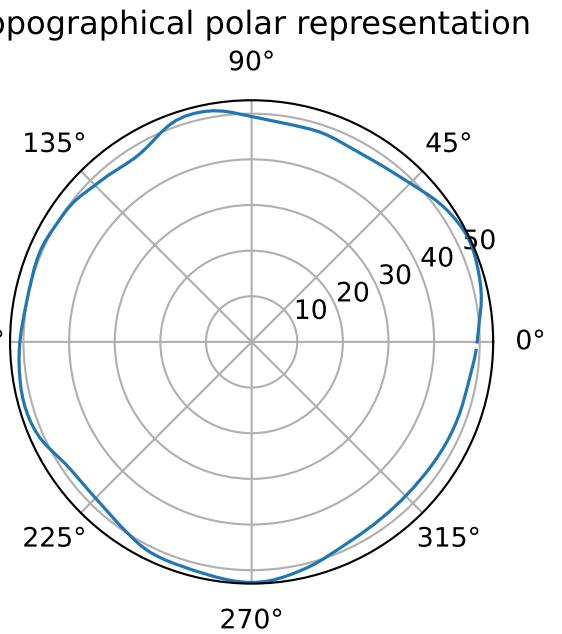
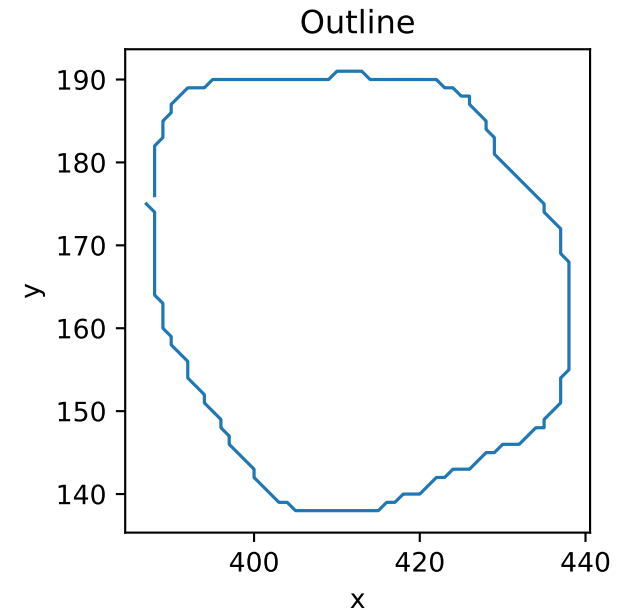
Frame 31 | t=65.000



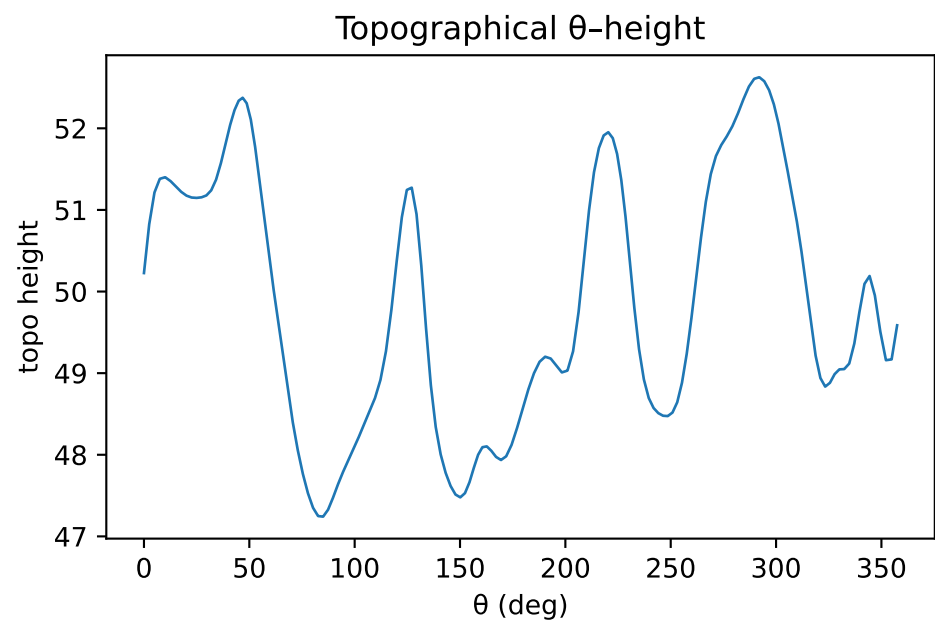
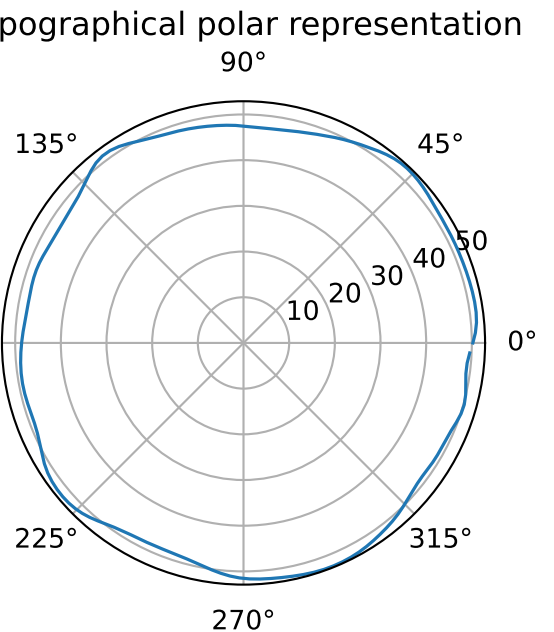
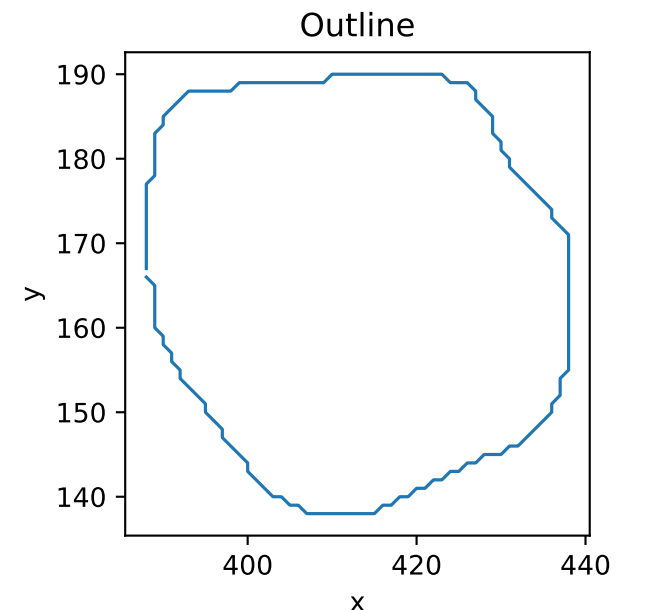
Frame 32 | t=66.000



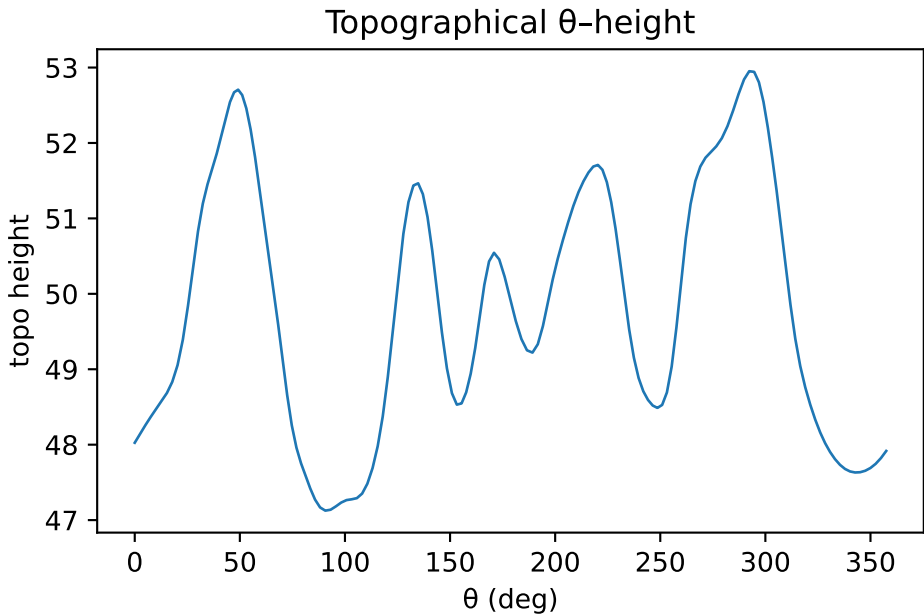
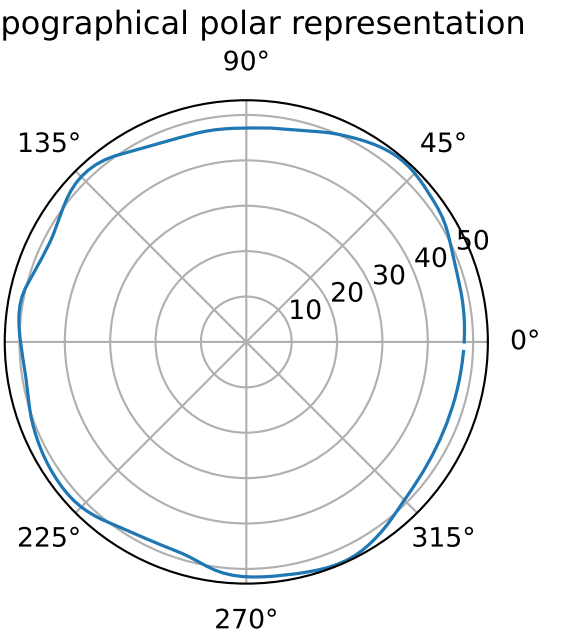
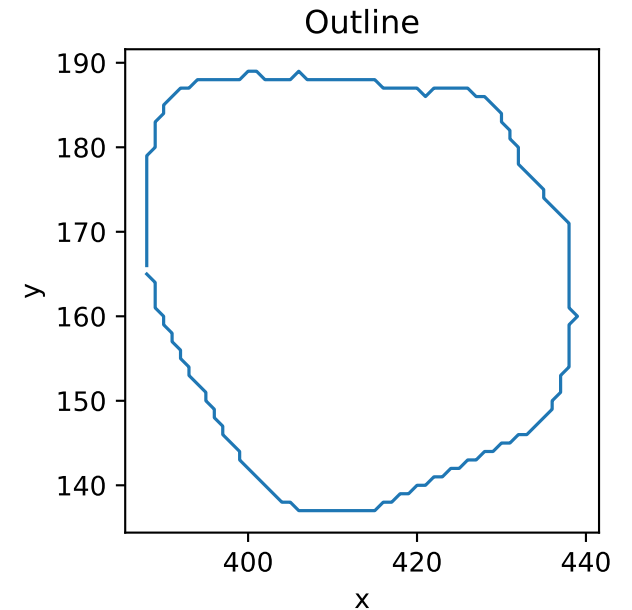
Frame 33 | t=67.000



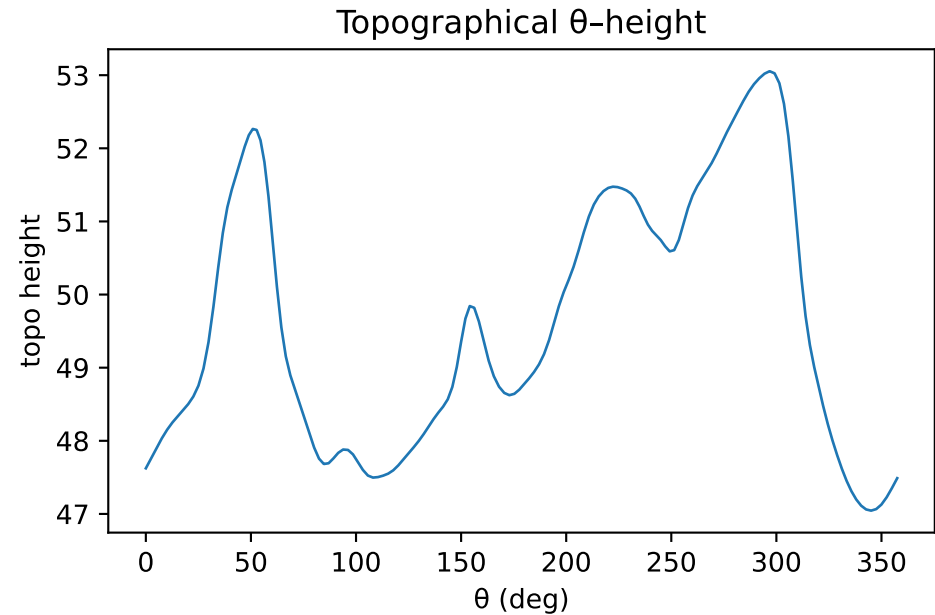
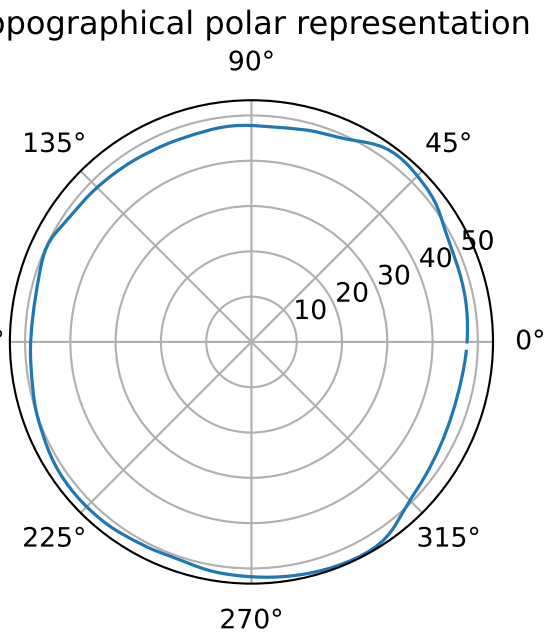
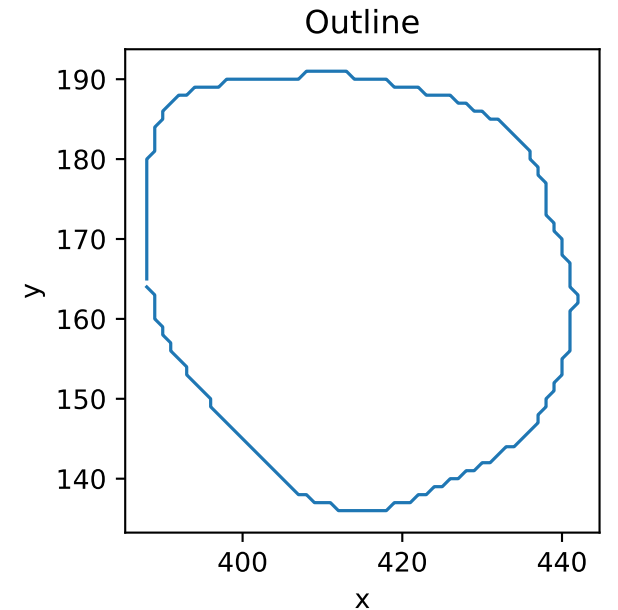
Frame 34 | t=68.000



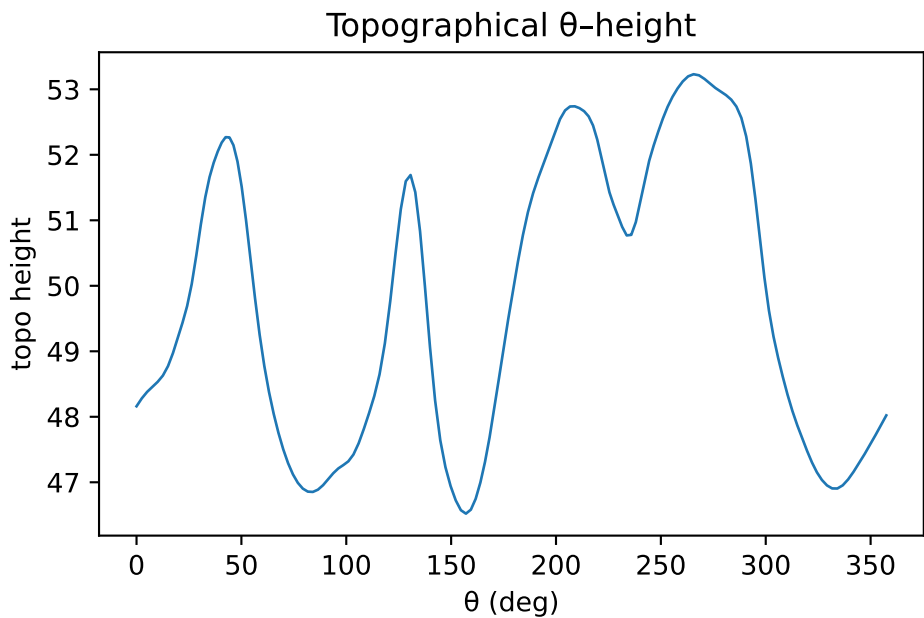
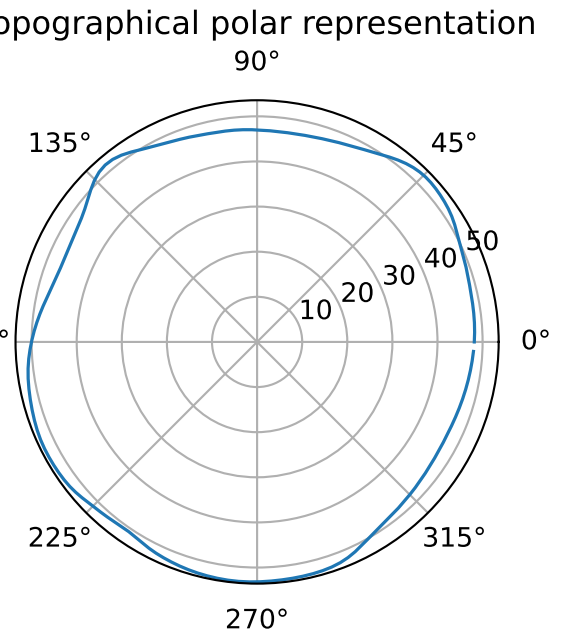
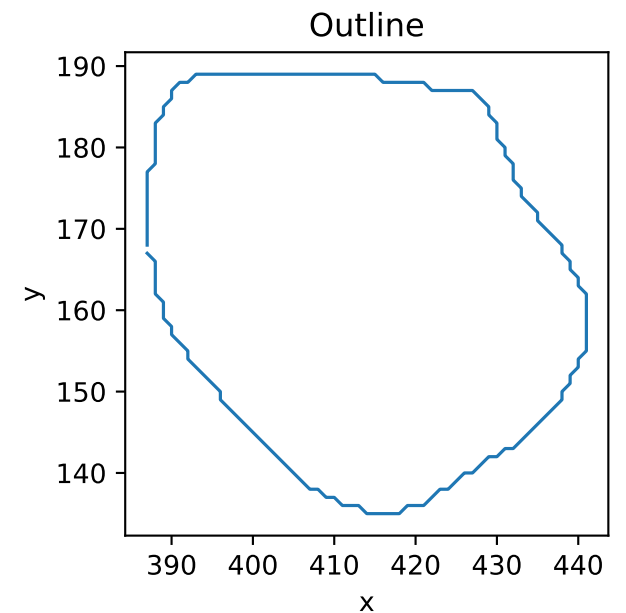
Frame 35 | t=69.000



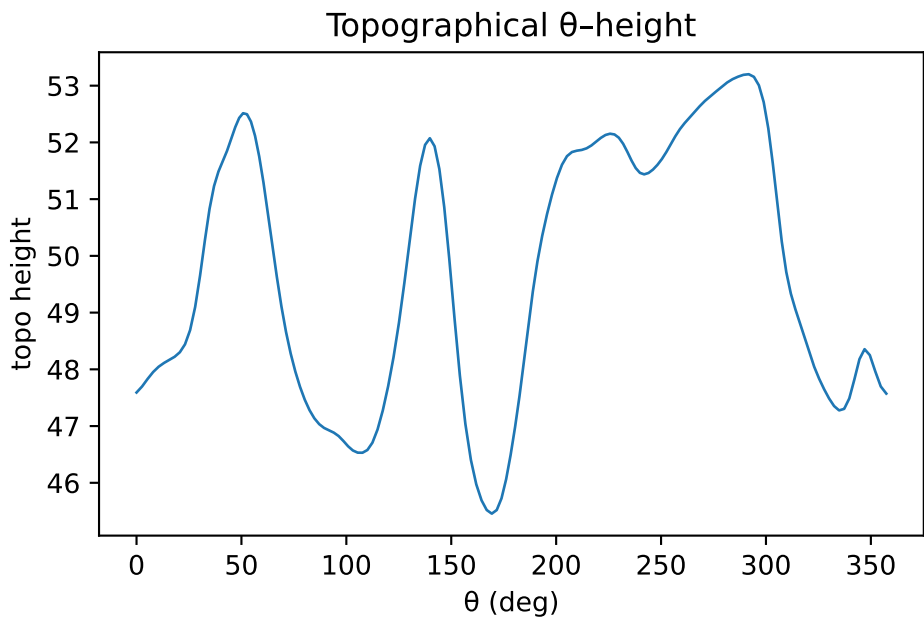
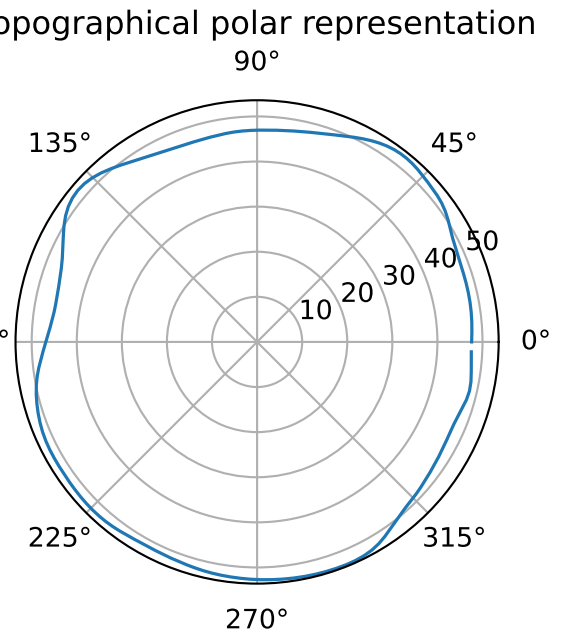
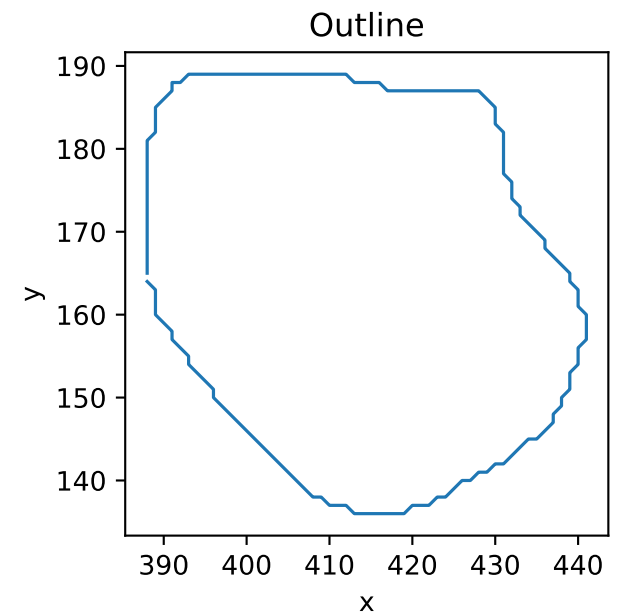
Frame 36 | t=70.000



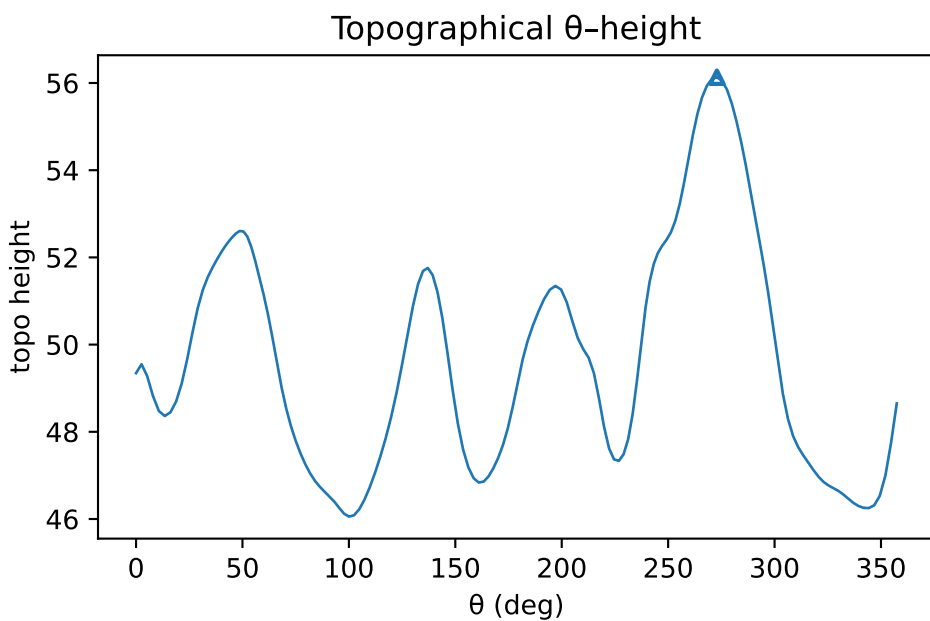
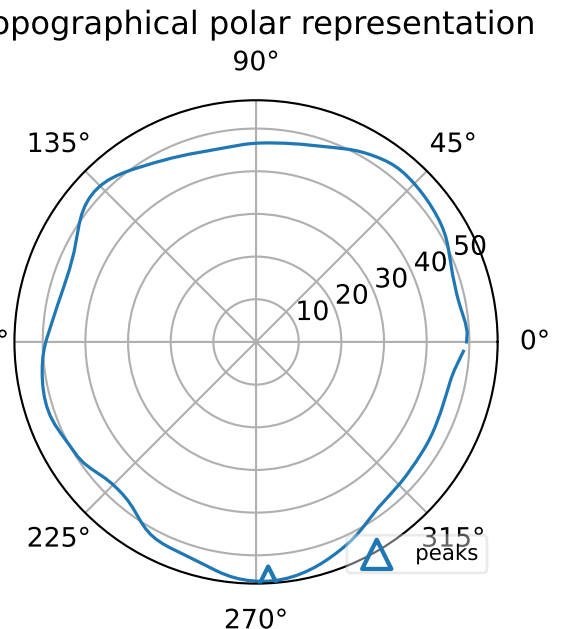
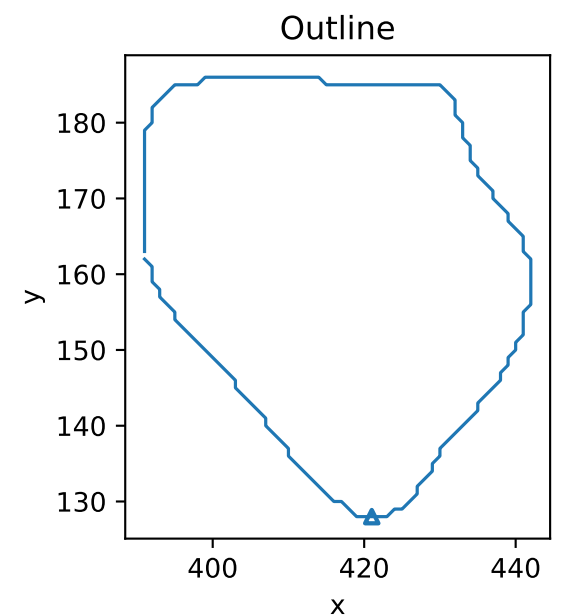
Frame 37 | t=71.000



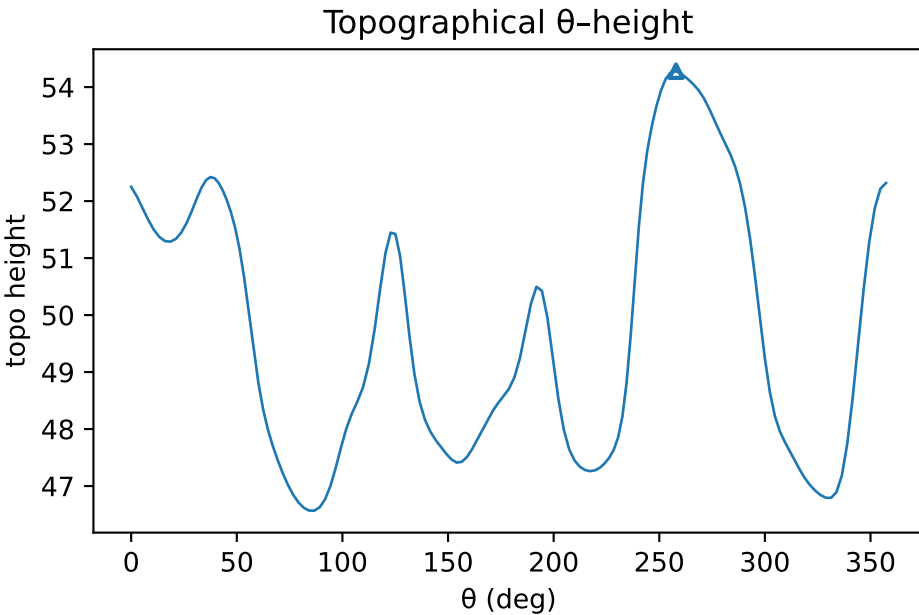
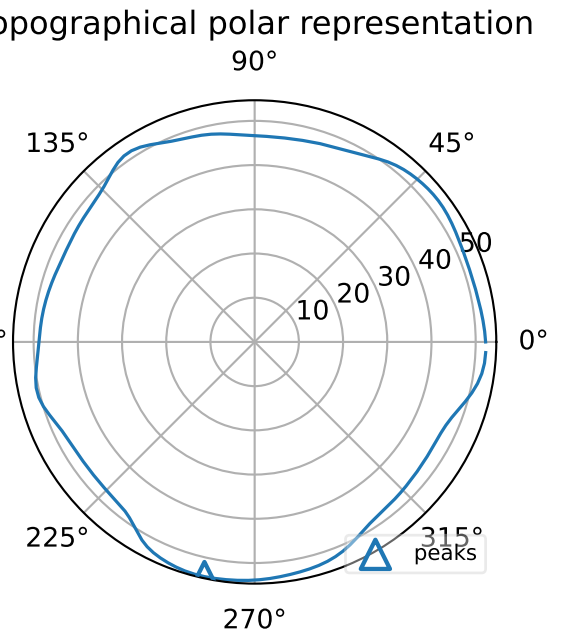
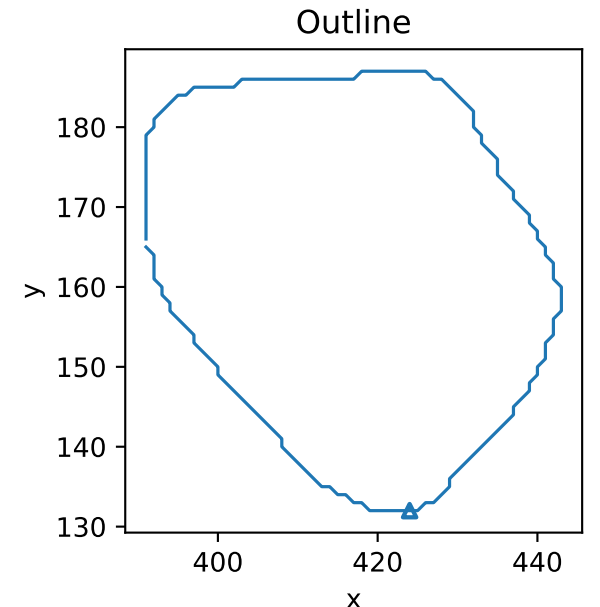
Frame 38 | t=72.000



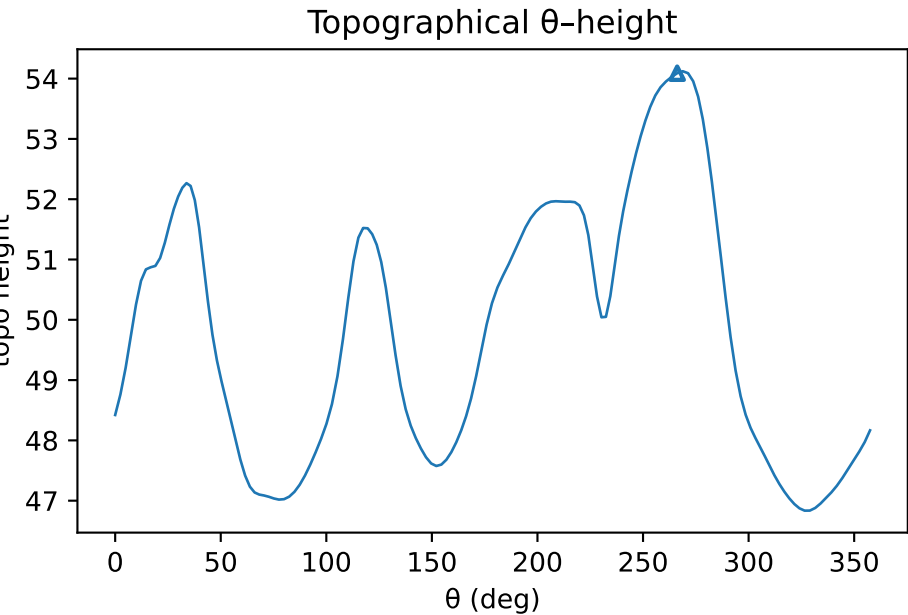
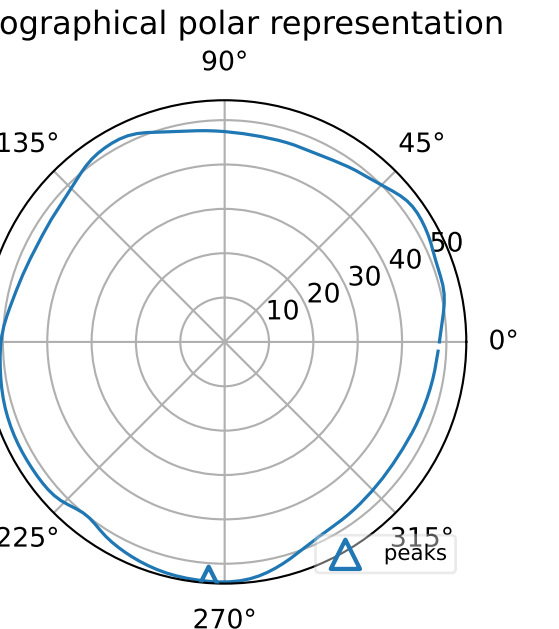
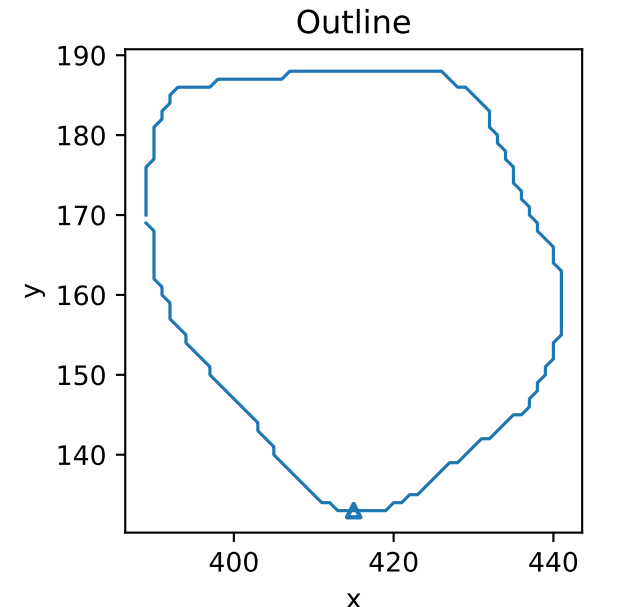
Frame 39 | t=73.000



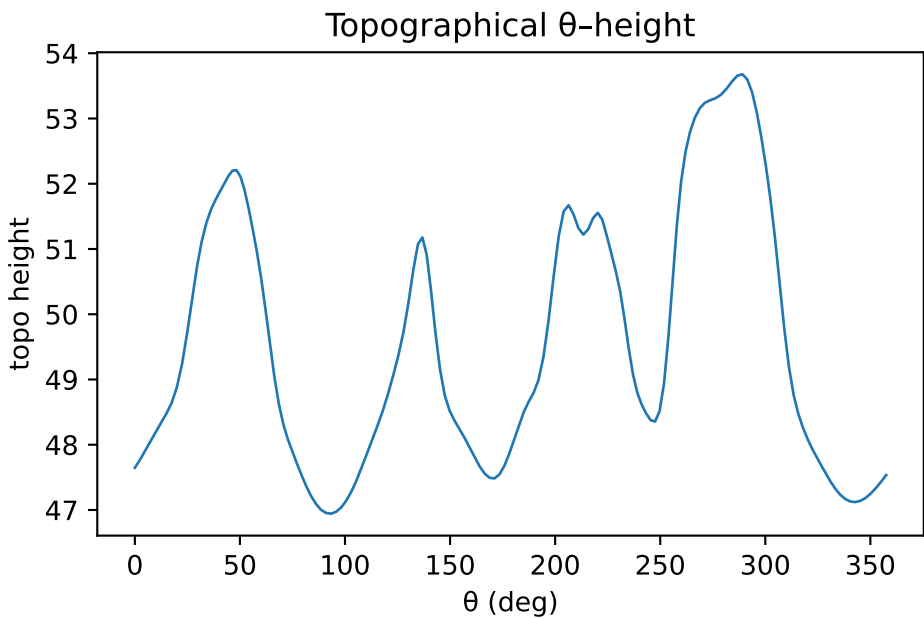
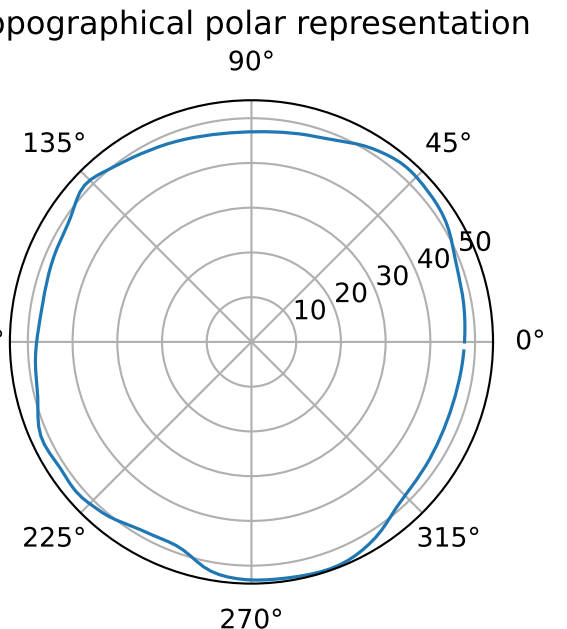
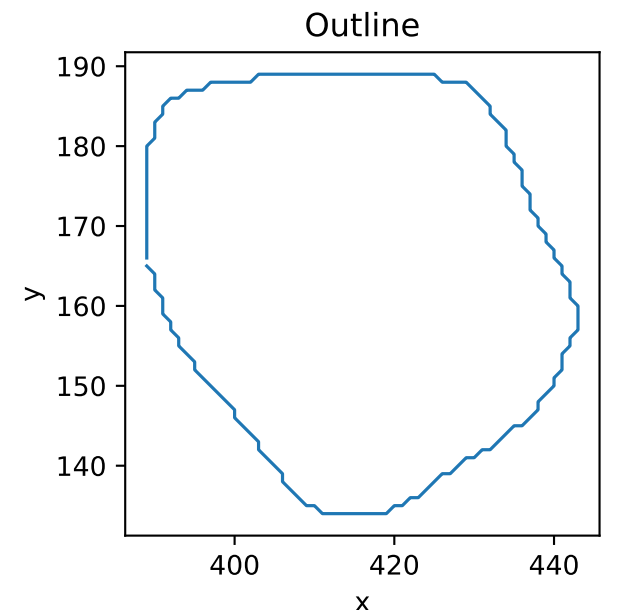
Frame 40 | t=74.000



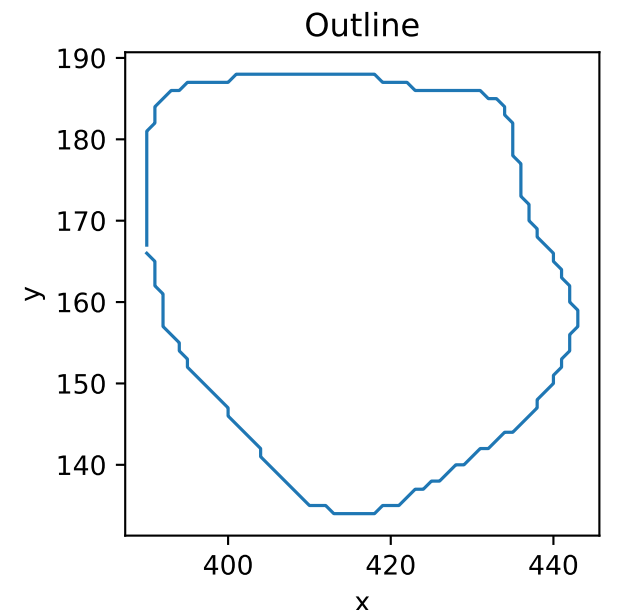
Frame 41 | t=75.000



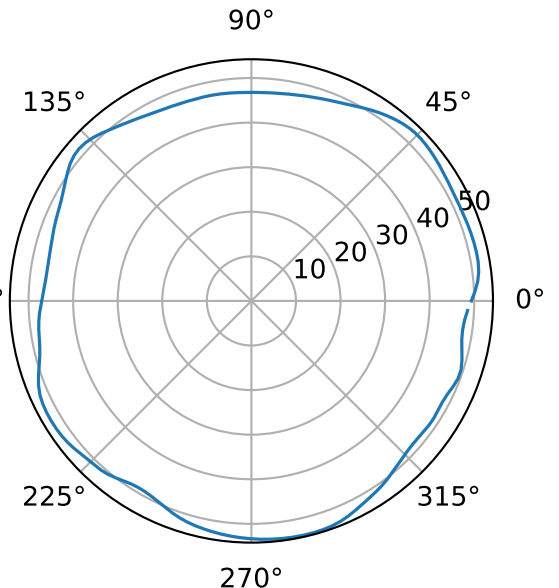
Frame 42 | t=76.000



Frame 43 | t=77.000



Topographical polar representation



Topographical  $\theta$ -height

